



ANALYSE DES DONNÉES TEXTUELLES & ÉCHANGES HOMME-MACHINE

29 mai 2024
GdR MaDICS, Blois

Vincent Guigue & Laure Soulier
vincent.guigue@agroparistech.fr, laure.soulier@isir.upmc.fr



INTRODUCTION

A

Historique générale de l'Intelligence Artificielle

- Deux concepts distincts malgré les liens
- IA: Différentes Définitions

1956 N'importe quel algorithme / programme
1960-2012 Systèmes experts et raisonnement logique
2012- Données & réseaux de neurones



A. Turing



Marvin Minsky

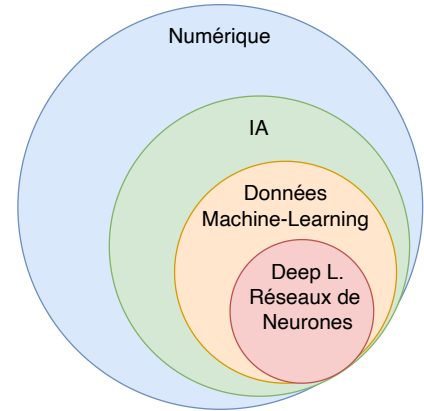


G. Hinton



Y. Lecun

Réseaux de neurones



Deep-learning



Informatique

IA: grande variété d'algorithme
Principalement : Système expert / raisonnement logique

IA = réseaux de neurones

Intelligence Artificielle & Machine Learning



Input (X)	Output (Y)	Application
email	spam? (0/1)	spam filtering
audio	text transcript	speech recognition
English	Chinese	machine translation
ad, user info	click? (0/1)	online advertising
image, radar info	position of other cars	self-driving car
image of phone	defect? (0/1)	visual inspection

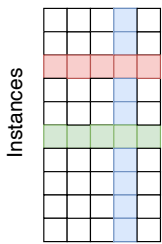
IA : programmes informatiques qui s'adonnent à des tâches qui sont, pour l'instant, accomplies de façon plus satisfaisante par des êtres humains car elles demandent des processus mentaux de haut niveau.

Marvin Lee Minsky, 1956

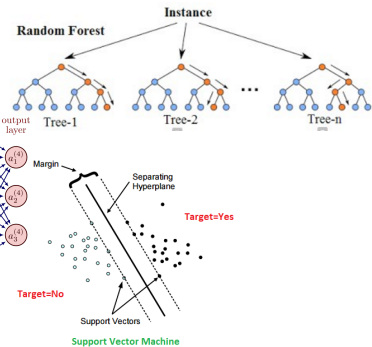
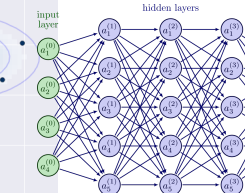
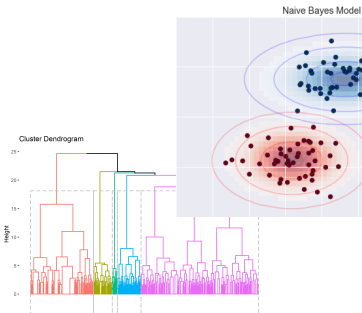
N-AI (Narrow Artificial Intelligence), dédiée à une tâche
≠ G-AI (General AI) qui remplace l'humain dans des systèmes complexes.
Andrew Ng, 2015

Big Data (2001): Le défi des données

Caractéristiques supervision



$$\text{f}(\quad \quad \quad \quad) = \text{pred}$$

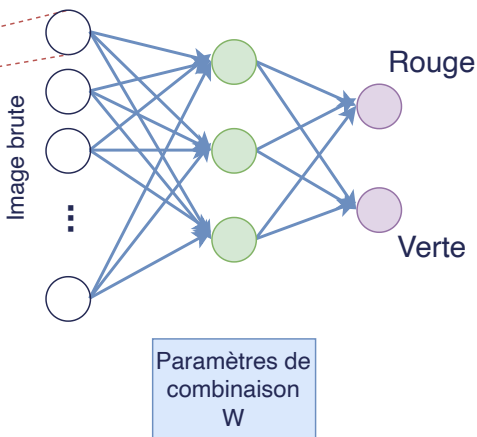
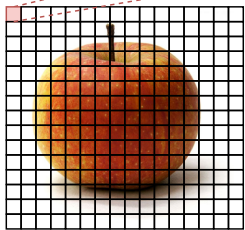




Réseaux de neurones

Une fonction complexe & protéiforme \Rightarrow Adaptable à beaucoup de problèmes

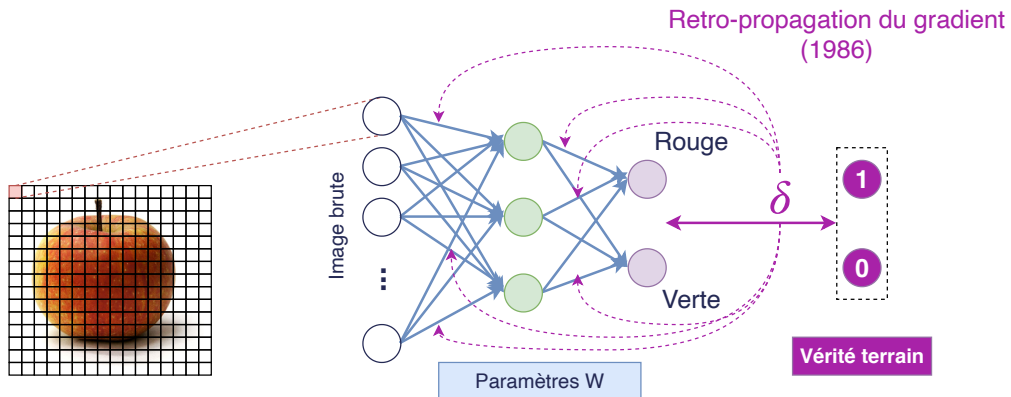
(1) Initialisation aléatoire (& comportement aléatoire)



Réseaux de neurones

Une fonction complexe & protéiforme \Rightarrow Adaptable à beaucoup de problèmes

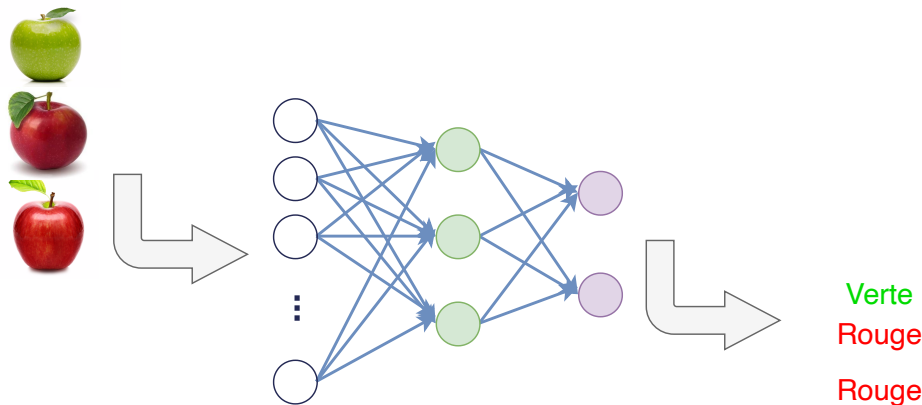
(2) Entrainement lent, long & stochastique



Réseaux de neurones

Une fonction complexe & protéiforme \Rightarrow Adaptable à beaucoup de problèmes

(3) Inférence rapide





Deep-Learning \Rightarrow Representation Learning

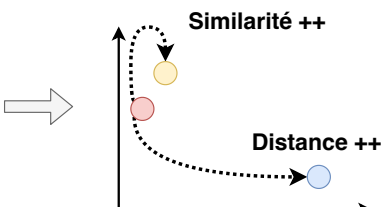
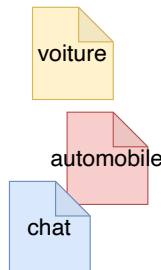
Enjeu: l'apprentissage de représentation

Comprendre comment des concepts complexes (mot/objet/image) se positionnent les uns par rapport aux autres

Corpus en sac de mots

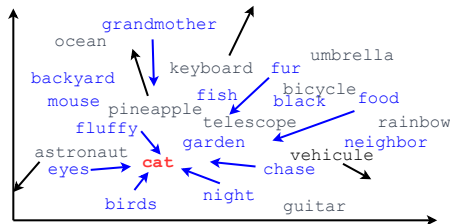
d1	1	0	0
d2	0	0	1
d3	0	1	0
mot 1	voiture	automobile	chat
...
mot D			

Mêmes distances



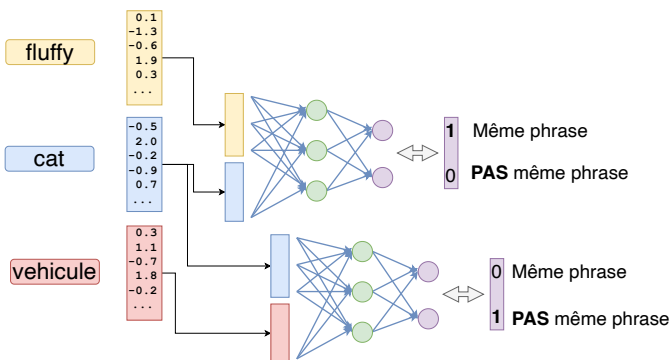
Espace vectoriel continu

Fonctionnement type Word2Vec



The **fluffy cat** napped lazily in the sunbeam.
 I adopted a **stray cat** from the shelter last week.
 My **cat** loves to chase after **toy mice**.
 The **black cat** stealthily crept through the dark alley.
 I often find my **cat** perched on the **windowsill**, watching **birds**.
 She gently stroked her **cat's fur** as it **purred** contentedly.
 Our **neighbor's cat** frequently visits our **backyard**.
 The playful **cat** swatted at the dangling string with its paw.
 My **cat** has a preference for **fish flavored cat food**.
 The **cat** stealthily stalked a **mouse** in the **garden**.
 My **grandmother** has a collection of **porcelain cat figurines**.

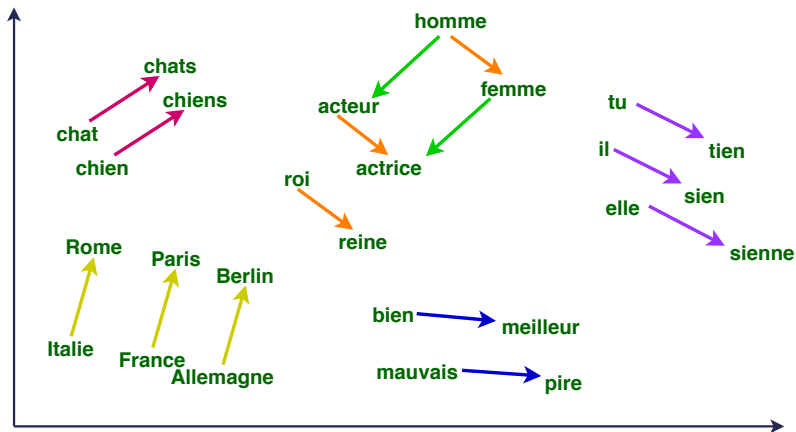
Corpus





Fonctionnement type Word2Vec

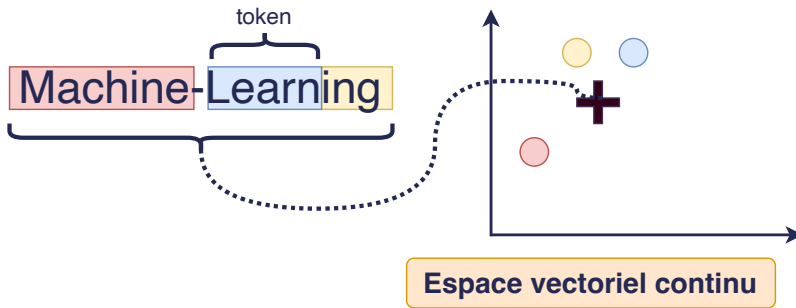
- ▶ Espace sémantique : signification proche \Leftrightarrow position proche
- ▶ Espace structuré : régularités grammaticales, logiques, ...



Des mots aux tokens

- ▶ Problème de taille du dictionnaire / mots inconnus
- ▶ Résistance aux fautes d'orthographe

Décomposition en groupes
de lettres fréquentes

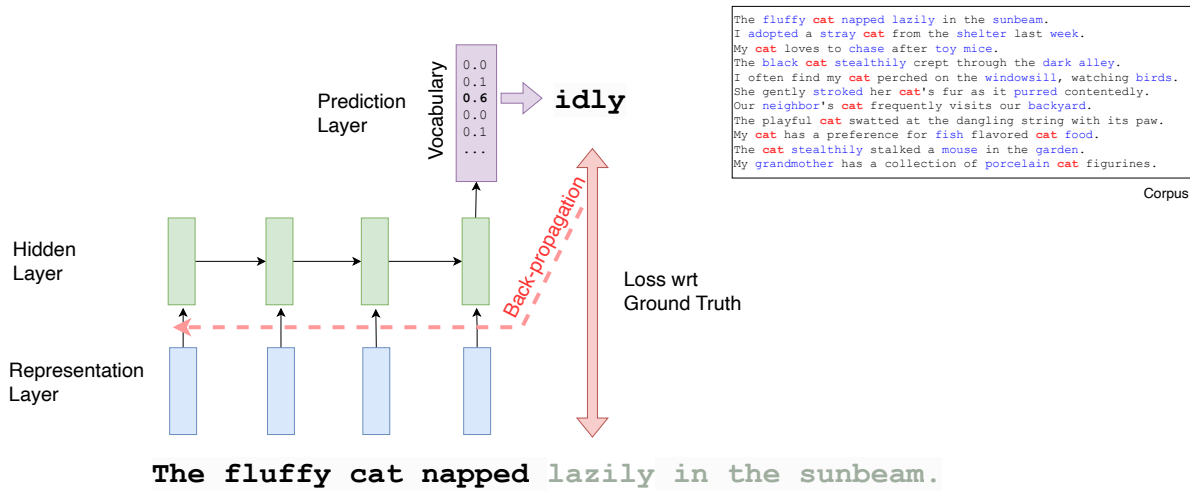


DES MODÈLES DE LANGUE À CHATGPT



Vers les modèles de langue : Agrégation & Prédiction

- ▶ Nouvelle manière d'apprendre les positions des mots
- ▶ IA générative : traduction, résumé automatique

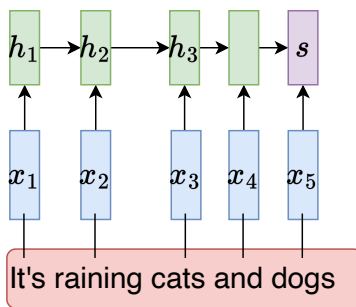




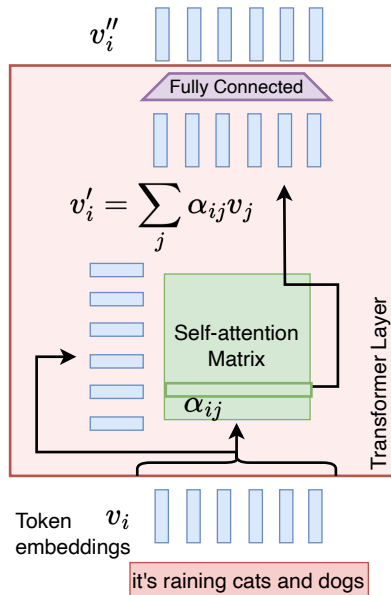
Passage aux Transformers

Recurrent Neural Network:

$$h_{t+1} = h_t W_1 + x_{t+1} W_2$$



Transformer:

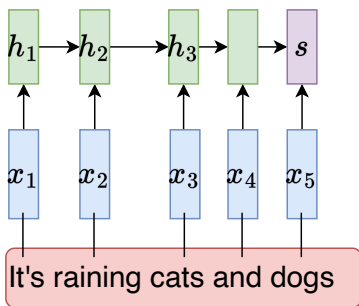




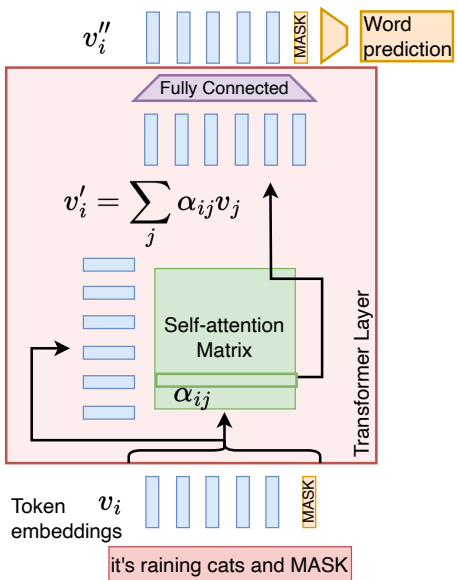
Passage aux Transformers

Recurrent Neural Network:

$$h_{t+1} = h_t W_1 + x_{t+1} W_2$$



Transformer:

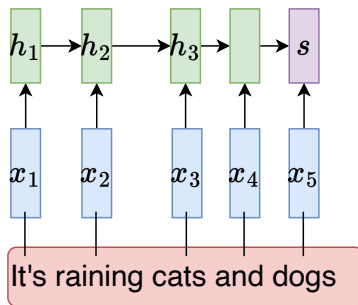




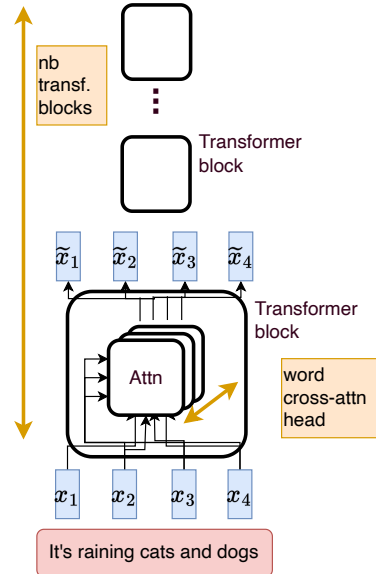
Passage aux Transformers

Recurrent Neural Network:

$$h_{t+1} = h_t W_1 + x_{t+1} W_2$$



Transformer:

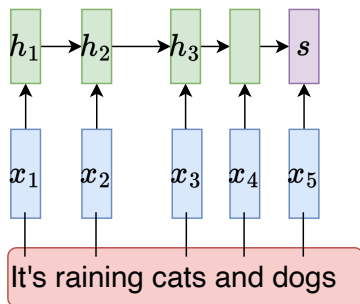




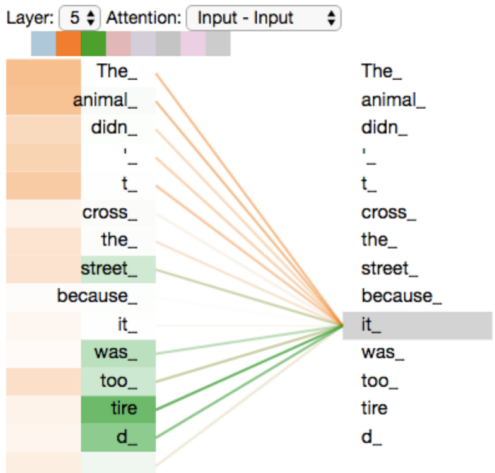
Passage aux Transformers

Recurrent Neural Network:

$$h_{t+1} = h_t W_1 + x_{t+1} W_2$$



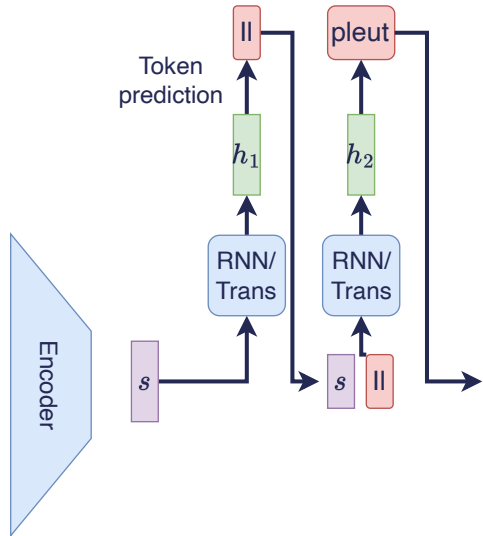
Transformer:





Architectures génératives / encodeur-décodeur

It's raining cats and dogs

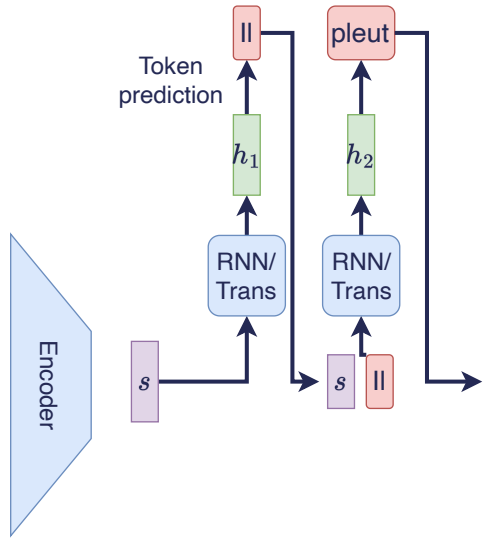


- ▶ Coût élevé (+beam search)
 - ▶ 1 appel / token
- ▶ Génération au sens du maximum de vraisemblance
- ▶ Principales tâches de NLP \Leftrightarrow reformulation en mode génératif

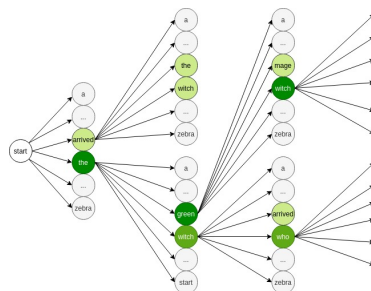


Architectures génératives / encodeur-décodeur

It's raining cats and dogs



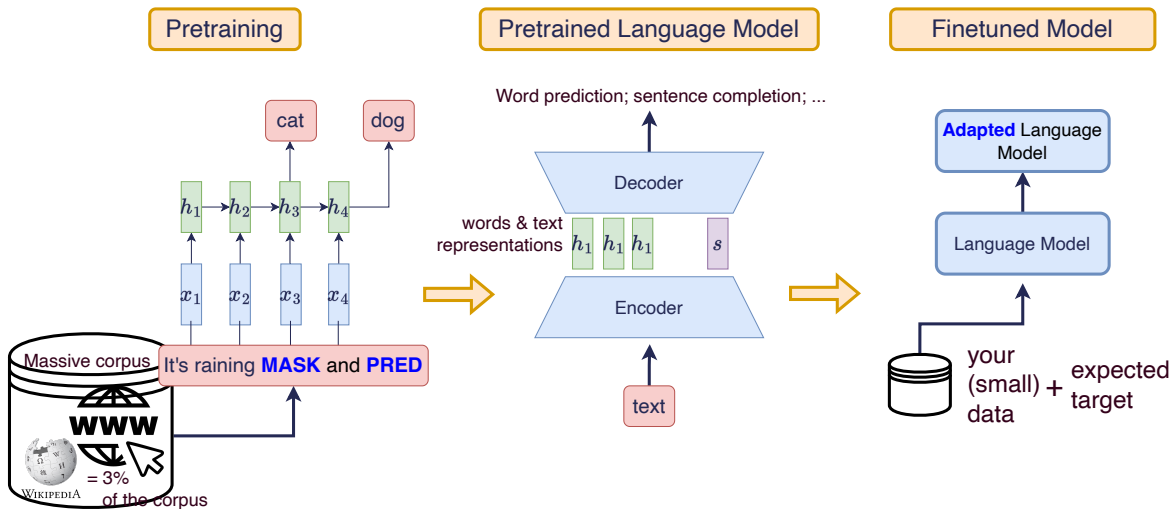
- ▶ Cout élevé (+beam search)
 - ▶ 1 appel / token
- ▶ Génération au sens du maximum de vraisemblance
- ▶ Principales tâches de NLP \Leftrightarrow reformulation en mode génératif





Changement de paradigme: modèles pré-entraînés

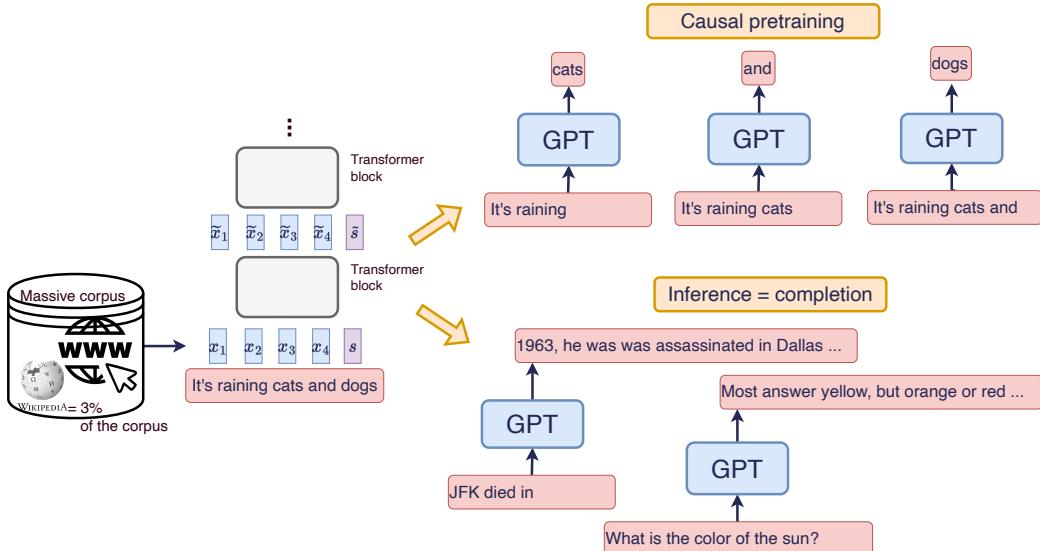
Disponibilité, possibilité de *fine-tuning*





Les ingrédients de chatGPT

0. Transformer + données massives (GPT)





Les ingrédients de chatGPT

1. Toujours plus! (GPT)

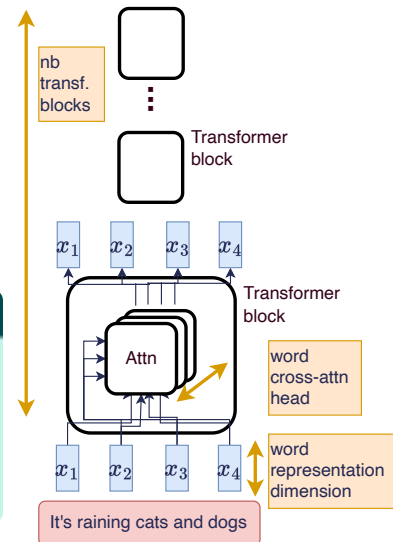
- + de mots en entrée
- + de dimensions (mots)
- + de têtes d'attention
- + de blocks/couches

$[500 \Rightarrow 2k, 32k]$

$[500-2k \Rightarrow 12k]$

$[12 \Rightarrow 96 \text{ (dim 128)}]$

$[5-12 \Rightarrow 96]$



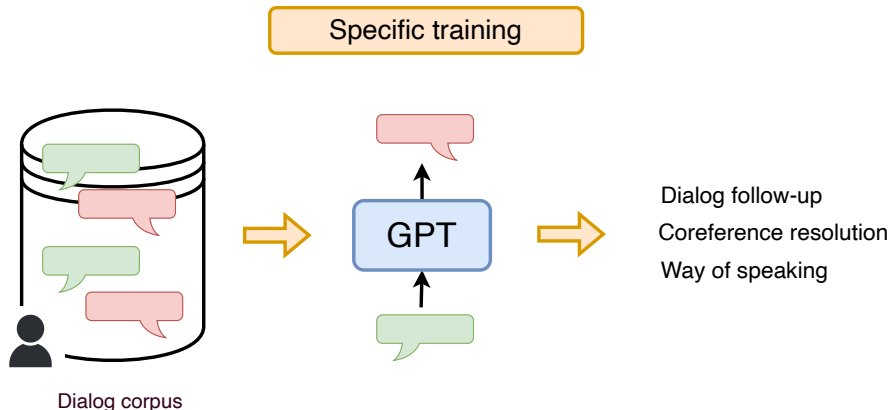
175 Milliards de paramètres... Ca fait quoi?

- ▶ small $1.75 \cdot 10^{11} \Rightarrow 300 \text{ Go} + 100 \text{ Go (inférence)} \approx 400 \text{ Go}$
- ▶ GPU NVidia A100 = 80Go de mémoire ($=20k\text{\euro}$)
- ▶ Coût pour (1) entraînement: 4.6 Millions d'\text{\euro}



Les ingrédients de chatGPT

2. Suivi de dialogue



► Données très propres

Données générées/validées par des humains



Les ingrédients de chatGPT

3. L'affinage sur différentes tâches de raisonnement (\pm) complexe

Instruction finetuning

Please answer the following question.

What is the boiling point of Nitrogen?

Chain-of-thought finetuning

Answer the following question by reasoning step-by-step.

The cafeteria had 23 apples. If they used 20 for lunch and bought 6 more, how many apples do they have?

Multi-task instruction finetuning (1.8K tasks)

Inference: generalization to unseen tasks

Q: Can Geoffrey Hinton have a conversation with George Washington?
Give the rationale before answering.

Language model

-320.4F

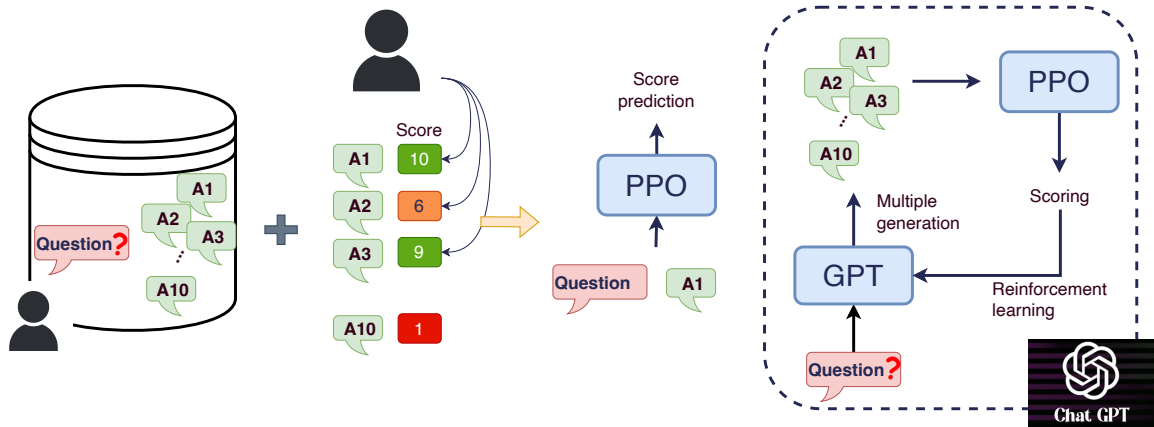
The cafeteria had 23 apples originally. They used 20 to make lunch. So they had $23 - 20 = 3$. They bought 6 more apples, so they have $3 + 6 = 9$.

Geoffrey Hinton is a British-Canadian computer scientist born in 1947. George Washington died in 1799. Thus, they could not have had a conversation together. So the answer is "no".



Les ingrédients de chatGPT

4. Suivi de dialogue & amélioration des réponses



- ▶ BD faite par des humains
- ▶ Amélioration des réponses
- ▶ ... Aussi une manière d'éviter les sujets critiques

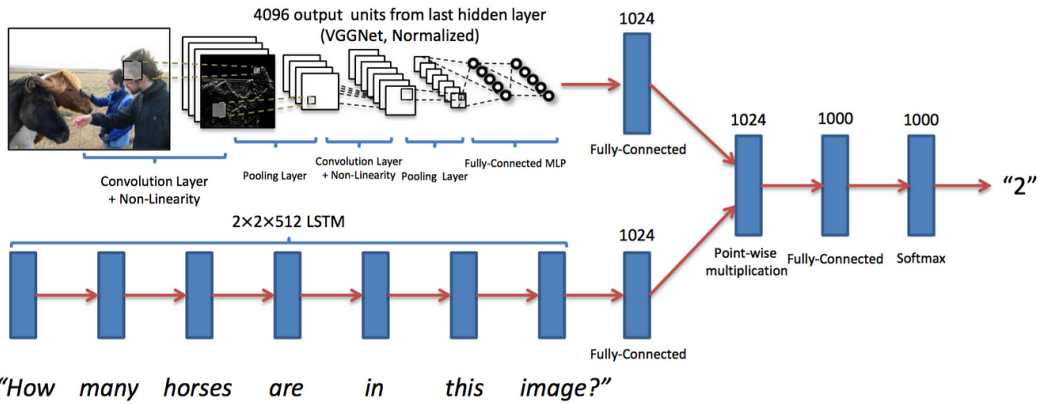


GPT4 & la multimodalité

Fusionner les informations issues du texte et de l'image.

Apprendre à exploiter les informations conjointement

L'exemple du VQA: visual question answering

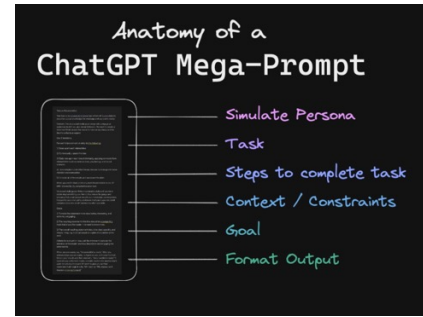


Rétro-propager l'erreur \Rightarrow optim. représentations de mots + analyse image



Usage de chatGPT & Prompting

- ▶ Interroger chatGPT... Ca s'apprend! = *prompting*
 - ▶ Bien poser une question: ... *en détails*, ... *step by step*
 - ▶ Spécifier nb elts e.g. : *3 qualités pour* ..., *5 éléments pour*...
 - ▶ Poser un contexte : *cellule* pour un biologiste / assistant juridique
- ▶ Ne pas s'arrêter à la première question
 - ▶ Détailler des points particuliers
 - ▶ réorienter la recherche
- ▶ Reformulation
 - ▶ Explain like I'm 5, plus formel, à la manière d'un article scientifique, bro style, ...
 - ▶ Résumer, étendre
 - ▶ Ajouter des fautes (!)

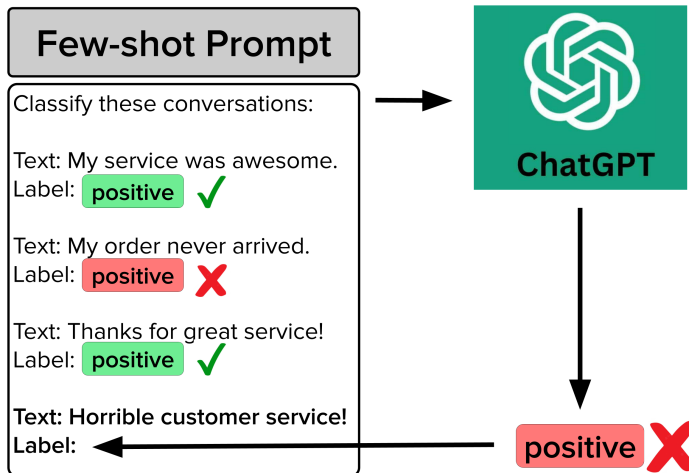


<https://chatgptprompts.guru/what-makes-a-good-chatgpt-prompt/>



Vers du *few-shot learning*

- ▶ Apprendre sans modifier le modèle = exemples dans le prompt



ENJEUX ET LIMITES



chatGPT et le rapport à la vérité

1 Vraisemblance = grammaire, accords,
concordance des temps,
enchaînements logiques...

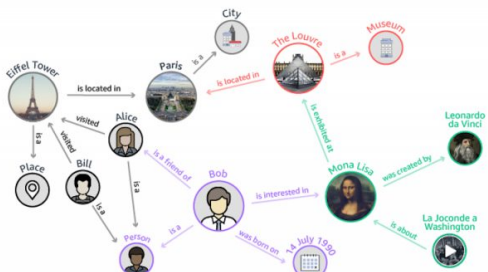
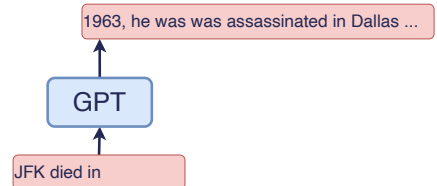
⇒ Connaissances répétées
≈ grammaire

2 Prédire le mot le plus **vraisemblable**...
⇒ produit des **hallucinations**

3 Fonctionnement **hors-ligne**

4 chatGPT =
loin des **graphes de connaissances**

5 Des réponses brillantes...
Et des erreurs bêtes!
+ on ne sait pas prédire les erreurs

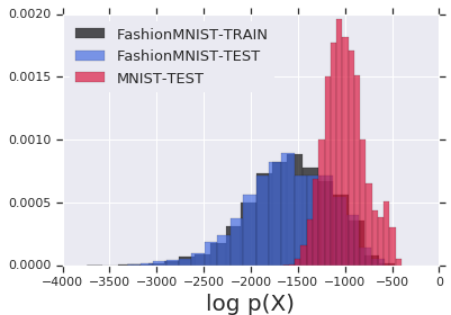




IA Génératives: comment évaluer les performances?

Le point critique aujourd'hui

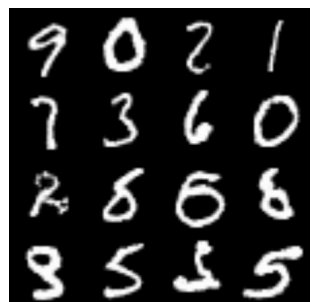
- ▶ Comment s'évaluer par rapport à une vérité terrain?
- ▶ Comment évaluer la confiance du système / vraisemblance de la génération ?



Vraisemblance



Train



Test



Stabilité/prédicibilité

- ▶ Difficile de borner un comportement
- ▶ Impossible de prédire les bonnes/mauvaises réponses
- ⇒ Peu/pas utilisé en jeux vidéo



V

how old is Obama



Barack Obama was born on August 4, 1961, making him 61 years old as of February 2, 2023.





Stabilité/prédicibilité

- ▶ Difficile de borner un comportement
- ▶ Impossible de prédire les bonnes/mauvaises réponses
- ⇒ Peu/pas utilisé en jeux vidéo



V how old is obama?
==

 As of 2021, Barack Obama was born on August 4, 1961, so he is 60 years old.



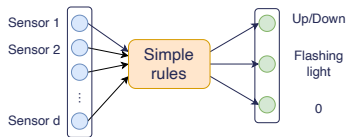
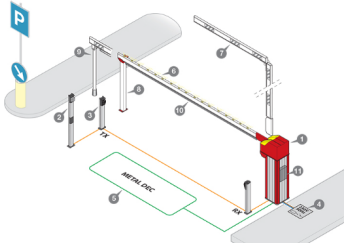
V and today?

 As a language model AI, I don't have real-time access to current dates. However, Barack

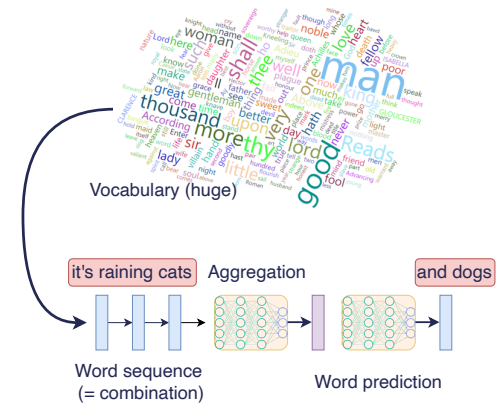




Stabilité, explicabilité... Et complexité



- ▶ Système *simple*
- ▶ Test exhaustif des entrées/sorties
- ▶ **prédictible & explicable**



- ▶ Grande dimension
- ▶ Combin. non-linéaires complexes
- ▶ **non-prédictible & non-explicable**



Stabilité, explicabilité... Et complexité

Interprétabilité vs Explication post'hoc

Réseaux de neurones = **non interprétable** (presque toujours)

trop de combinaisons pour anticiper

Réseaux de neurones = **explicable a posteriori** (presque toujours)

roles des entrées dans une décision sur un exemple



[Accident Uber, 2018]

- ▶ Système *simple*
- ▶ Grande dimension
- ▶ Test exhaustif des entrées/sorties
- ▶ Combin. non-linéaires complexes
- ▶ **prédictible & explicable**
- ▶ **non-prédictible & non-explicable**



Transparence

- ▶ Les poids du modèle (*open-weight*)... ⇒ mais pas que les poids
- ▶ Les données d'entraînement (*BLOOM*) + distribution + instructions
- ▶ Techniques d'apprentissage
- ▶ Evaluation

Foundation Model Transparency Index Scores by Major Dimensions of Transparency, 2023

Source: 2023 Foundation Model Transparency Index

	Meta	BigScience	OpenAI	stability.ai	Google	ANTHROPIC	cohere	AI21labs	Inflection	amazon	Average
Data	40%	60%	20%	40%	20%	0%	20%	0%	0%	0%	20%
Labor	29%	86%	14%	14%	0%	29%	0%	0%	0%	0%	17%
Compute	57%	14%	14%	57%	14%	0%	14%	0%	0%	0%	17%
Methods	75%	100%	50%	100%	75%	75%	0%	0%	0%	0%	48%
Model Basics	100%	100%	50%	83%	67%	67%	50%	33%	50%	33%	63%
Model Access	100%	100%	67%	100%	33%	33%	67%	33%	0%	33%	57%
Capabilities	60%	80%	100%	40%	80%	80%	60%	60%	40%	20%	62%
Risks	57%	0%	57%	14%	29%	29%	29%	29%	0%	0%	24%
Mitigations	60%	0%	60%	0%	40%	40%	20%	0%	20%	20%	26%
Distribution	71%	71%	57%	71%	71%	57%	57%	43%	43%	43%	59%
Usage Policy	40%	20%	80%	40%	60%	60%	40%	20%	60%	20%	44%
Feedback	33%	33%	33%	33%	33%	33%	33%	33%	33%	0%	30%
Impact	14%	14%	14%	14%	14%	0%	14%	14%	14%	0%	11%
Average	57%	52%	47%	47%	41%	39%	31%	20%	20%	13%	



Machine-learning & biais

Biais dans les données

- ▶ Biais dans les réponses



Oreilles pointues,
moustaches, texture de poils
=
Chat



Homme blanc, +40ans,
costume
=
Cadre supérieur

Le machine-learning est basé sur l'extraction de biais statistiques...

⇒ Lutter contre les biais = forcer l'algorithme à la main



Machine-learning & biais

Biais dans les données

- ▶ Biais dans les réponses

The nurse and the doctor



L'infirmière et le docteur



- ▶ Choix du genre
- ▶ Couleur de peau
- ▶ Posture
- ▶ ...

Le machine-learning est basé sur l'extraction de biais statistiques...

⇒ Lutter contre les biais = forcer l'algorithme à la main



Correction des biais & ligne éditoriale

Correction des biais:

- ▶ Sélection de données spécifiques, ré-équilibrage
 - ▶ Censure de certaines informations
 - ▶ Censure des résultats de l'algorithme
- ⇒ Travail éditorial...



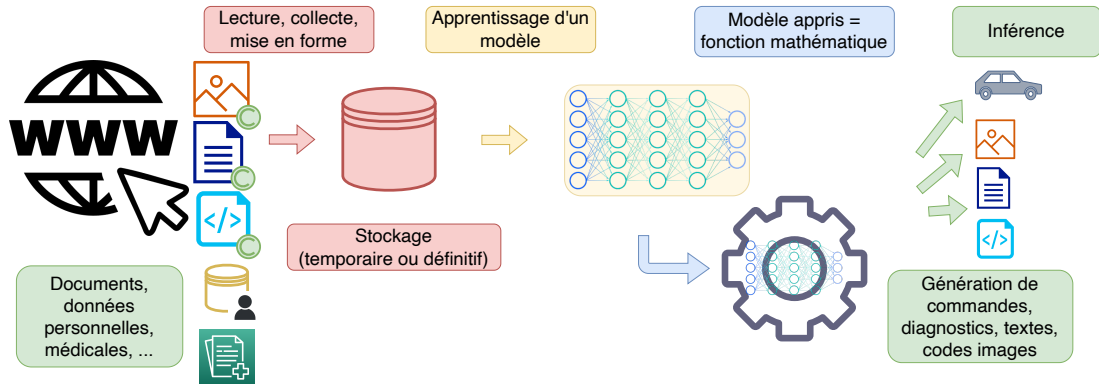
Effectué par qui?

- ▶ Experts métiers / cahier des charges
 - ▶ Ingénieurs, lors de la conception des algorithmes
 - ▶ Groupe éthique, lors de la validation des résultats
 - ▶ Groupe communication / réaction aux utilisateurs
- ⇒ Quelle légitimité? Quelle transparence? Quelle efficacité?





Risques/Questions juridiques



Droit d'auteur, droit des bases de données

Droit de collecte, droit de copie, consentement

Droit d'utiliser les données dans un algorithme

Modèle = émanation des données ?



Reproductions d'extraits non traçables

Régulation des usages

Responsabilité en cas d'erreur



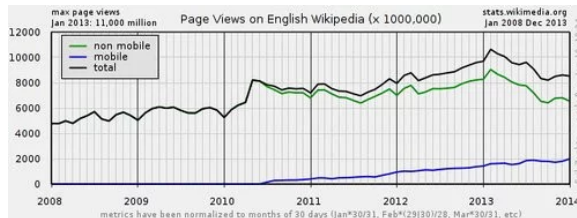
Questions économiques

Financement des sources d'information = publicité

- ▶ Publicité \Leftrightarrow **visites** des internautes
- ▶ Google knowledge graph (2012) \Rightarrow – de visites, – de revenu
- ▶ chatGPT = encodage des informations du web... \Rightarrow beaucoup moins de visites?

Google Knowledge Graph aurait causé une baisse du trafic de Wikipedia en 2013

Guillaume Belfiore
13 janvier 2014 à 12h16



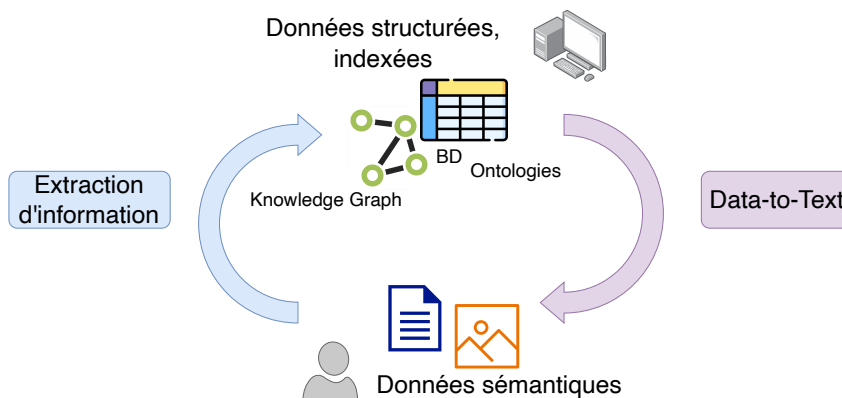
\Rightarrow Quel modèle économique pour les sources d'information avec chatGPT?

CYCLE DES DONNÉES: EXTRACTION D'INFORMATION GÉNÉRATION DE TEXTE

Cycle de l'information entre l'humain et la machine

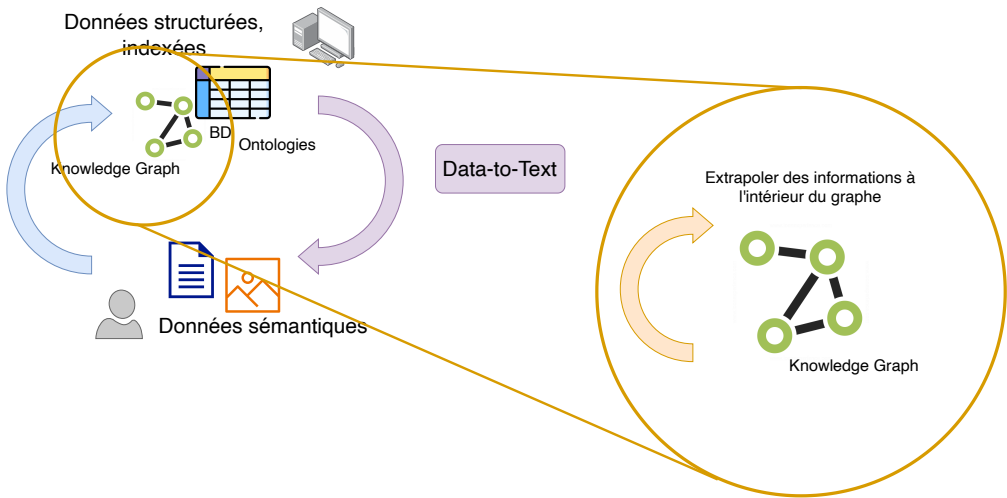
Humain et machine: des modalités différentes, quel traducteur?

- ▶ Extraction d'information: actif depuis les années 80 [regex, pattern, etc...]
⇒ révolutionné depuis 2012
- ▶ Génération de textes: idéal ancien, possibilités récentes [2014]





Enrichir les bases de connaissances

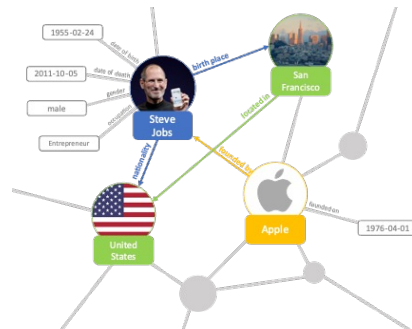




Enjeux autour des bases de connaissances

- ▶ Construire des bases de connaissances
- ▶ Raisonner: règles + inférence logique, ontologies, systèmes experts

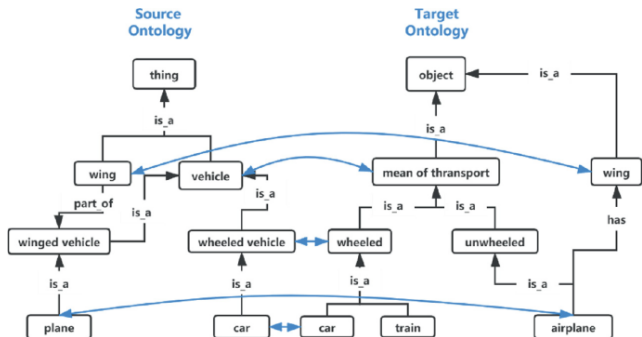
Steve Jobs	
	Jobs presenting the iPhone 4 in June 2010
Born	February 24, 1955 San Francisco, California, U.S.
Died	October 5, 2011 (aged 56) Palo Alto, California, U.S.
Resting place	Alta Mesa Memorial Park
Occupation	Entrepreneur - industrial designer - media proprietor - investor
Years active	1976–2011
Known for	Pioneer of the personal computer revolution with Steve Wozniak Co-creator of the Apple II, Macintosh, iPod, iPhone, iPad, and first Apple Stores
Title	Co-founder, chairman and CEO of Apple Inc. Co-founder, primary investor and chairman of Pixar Founder, chairman and CEO of NeXT
Board member of	The Walt Disney Company ^[1] Apple Inc.
Spouse(s)	Laurene Powell (m., 1991)
Partner(s)	Chrisann Brennan (1972–1977)





Enjeux autour des bases de connaissances

- ▶ Construire des bases de connaissances
- ▶ Raisonner: règles + inférence logique, ontologies, systèmes experts
- ▶ Connexions w/ Machine Learning
 - ▶ Alignement / fusion
 - ▶ Plongement / TransE

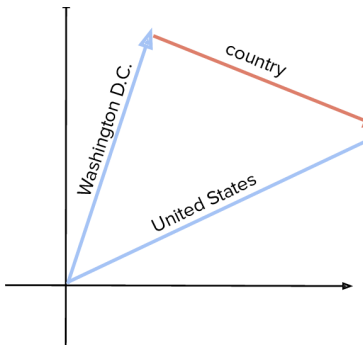


¹ Xiaojing Wu, Xingsi Xue, and Wenyu Hu (2021). "Argumentation Based Ontology Alignment Extraction". In: Advanced Machine Learning Technologies and Applications. ISBN: 978-3-030-69717-4



Enjeux autour des bases de connaissances

- ▶ Construire des bases de connaissances
- ▶ Raisonner: règles + inférence logique, ontologies, systèmes experts
- ▶ Connexions w/ Machine Learning
 - ▶ Alignement / fusion
 - ▶ Plongement / TransE



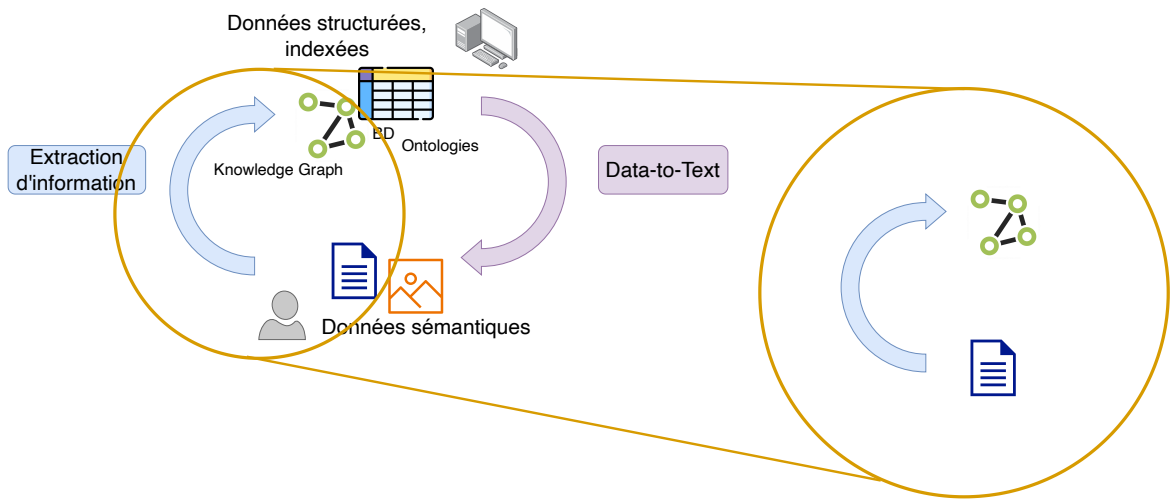
1

¹ Antoine Bordes et al. (2013). "Translating embeddings for modeling multi-relational data". In: NeurIPS

EXTRACTION D'INFORMATION

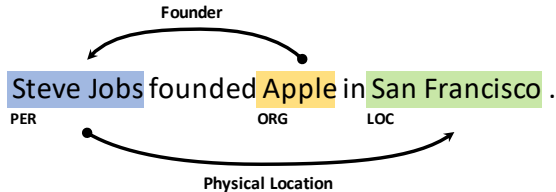


Du texte au connaissances structurées





Challenges autour de l'extraction d'information



- ▶ Segmenter les entités
- ▶ Identifier et/ou typer les entités
- ▶ Identifier + classer les liens

- ▶ Défi de la segmentation:
- ▶ Polysémie
- ▶ Fautes d'orthographe

e.g. New York Times

⇒ Morphologie + sémantique + contexte



Boston



Washington

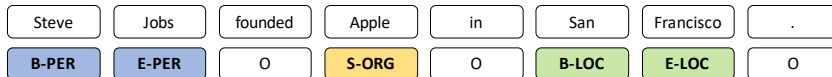


Philadelphia





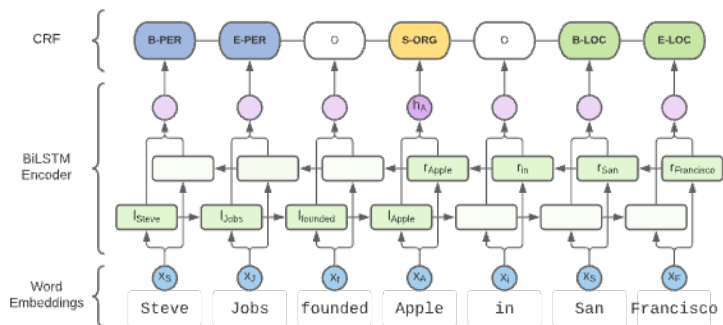
Extraction des entités nommées



IOBES : O = Other (not in an entity)
 B = Beginning I = Inside
 E = End S = Single

2

Révolutions successives: représentation des mots & contextualisation



- **Pretrained word embeddings**
 (Huang 2015) SENNA
- **Character-level word embeddings**
 (Lample 2016) SENNA + char-BiLSTM
- **Contextualized embeddings**
 (Peters 2018) ELMo
 (Akbik 2018) Flair
 (Devlin 2019) BERT

² Bruno Taillé (2022). "Contextualization and Generalization in Entity and Relation Extraction".
 PhD thesis. Sorbonne Université



Extraction des entités nommées

ELMo (Peters 2018)

- **char-CNN** word representation (ELMo[0])
- **BiLSTM** LM at a **word** level
- Weighted sum fusion (learned weights)

Flair (Akbik 2018)

- **BiLSTM** LM at a **character** level
- Word represented with the concatenation of its ends

BERT (Devlin 2019)

- **Transformer** LM at a **subword** level (WordPiece)
- Masked LM and Next Sentence Prediction
- **BERT_{LARGE}** **feature-based = frozen LM**

(Peters 2018) Deep contextualized word representations, NAACL-HLT 2018

(Akbik 2018) Contextual String Embeddings for Sequence Labeling, COLING 2018

(Devlin 2019) BERT: Pre-training of Deep Bidirectional Transformers for Language Understanding, NAACL-HLT 2019

CoNLL03 Test Set (F1)		
BERT _{LARGE}	(Devlin 2019)	92.8
ELMo	(Peters 2018)	92.2
Flair	(Akbik 2018)	92.0*
TagLM (SENNNA + LM)	(Peters 2017)	91.9
SENNNA + char BiLSTM	(Lample 2016)	90.9
SENNNA	(Huang 2015)	88.8

Une tâche résolue?



Superposition lexicale: apprentissage vs test

Proportion of mentions in test set are seen during training.

3 types of mentions :

Exact match Mention seen with the same type

Train :	Georges Washington	(PER)
	Barack Obama	(PER)

Partial match At least one non stop-word seen in a mention of same type

Test :	Donald Trump	(PER)
	Barack Obama	(PER)
	Georges Bush	(PER)
	Washington DC.	(LOC)
	Obama	(PER)

New All non stop-words are new

(Augenstein 2017) Generalisation in named entity recognition: A quantitative analysis, CSL 2017
 (Moosavi 2017) Lexical Features in Coreference Resolution: To be Used With Caution, ACL 2017



Superposition lexicale: apprentissage vs test

■ EXACT ■ PARTIAL ■ NEW

CoNLL03

52% 20% 28%

ONTONOTES*

69% 20% 11%

ONTONOTES*

Training on
CoNLL03

42% 28% 30%

WNUT*

12% 88%

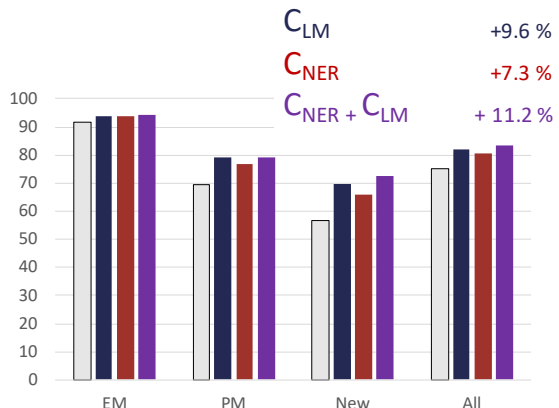
WNUT*
Training on
CoNLL03

7% 15% 78%

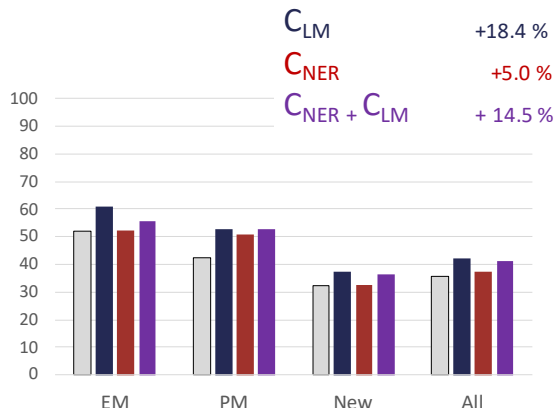


Séparation des performances: les résultats

OntoNotes*



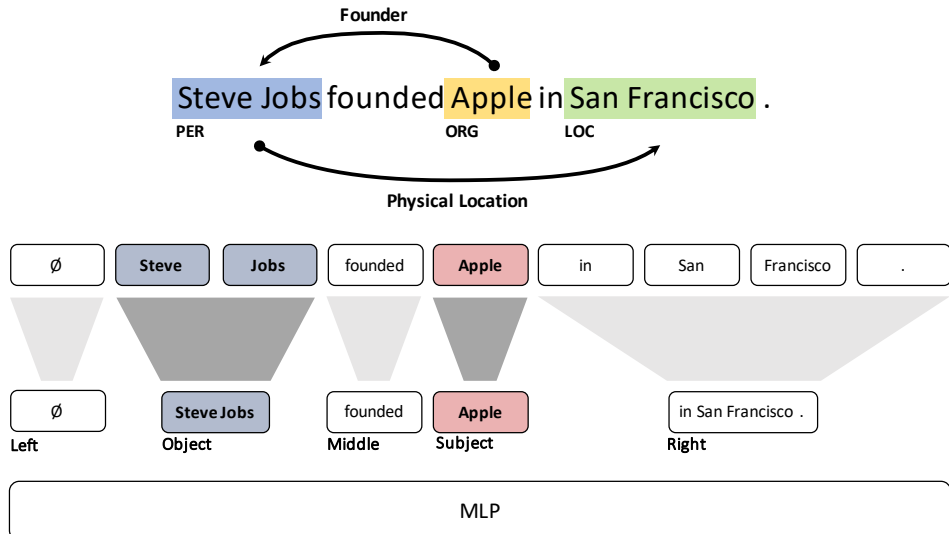
WNUT*



□ Map + ELMo[0] ■ Map + ELMo ■ BiLSTM + ELMo[0] ■ BiLSTM + ELMo



Extraction de relation: pipeline & piecewise pooling





Superposition des ensembles d'apprentissage & test

NER

(Augenstein 2017, Taillé 2020)

Seen

Unseen

Exact Match with the same type

RE

Exact Match

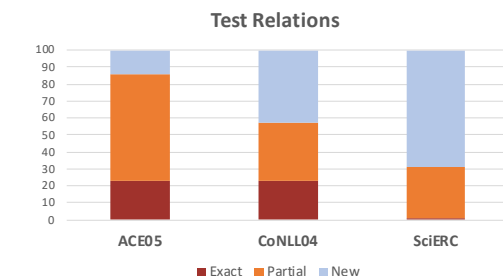
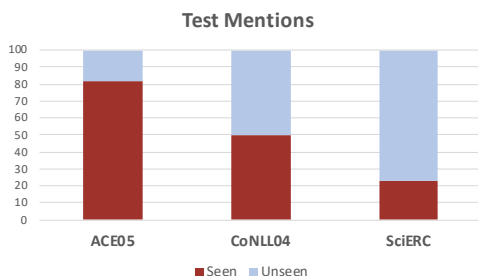
Partial Match

New

Triple **(head, predicate, tail)** exactly seen during training

(head, predicate, ...) or **(..., predicate, tail)** seen during training

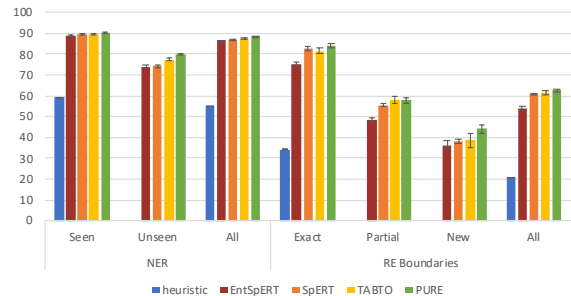
Otherwise



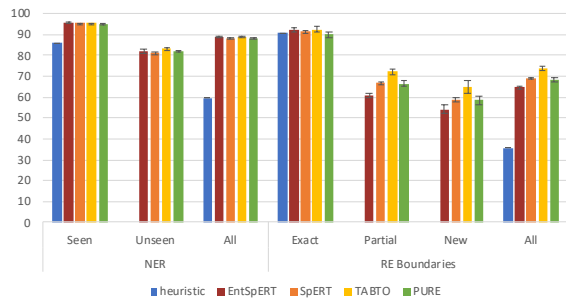


Superposition des ensembles d'apprentissage & test

ACE 05



CoNLL04



Relation Extraction vs End-to-end Relation Extraction



De nombreux défis autour de l'extraction d'information

- ▶ Extraction des entités & des relations [Thèse de B. Taillé]
- ▶ Etiquetage distant / auto-supervision des modèles [Thèse de M. Sahraoui]
- ▶ Reconnaissance d'entité dynamique (dont la classe change)
[Thèse de T. Luiggi]
- ▶ Contextualisation des entités / désambiguisation
[Thèse de T. Luiggi/T. Herserant]
- ▶ Exploitation des IA Générative pour la tâche / mesure de performances
[Thèse de T. Luiggi/T. Herserant]

⇒ Une problématique très ouverte

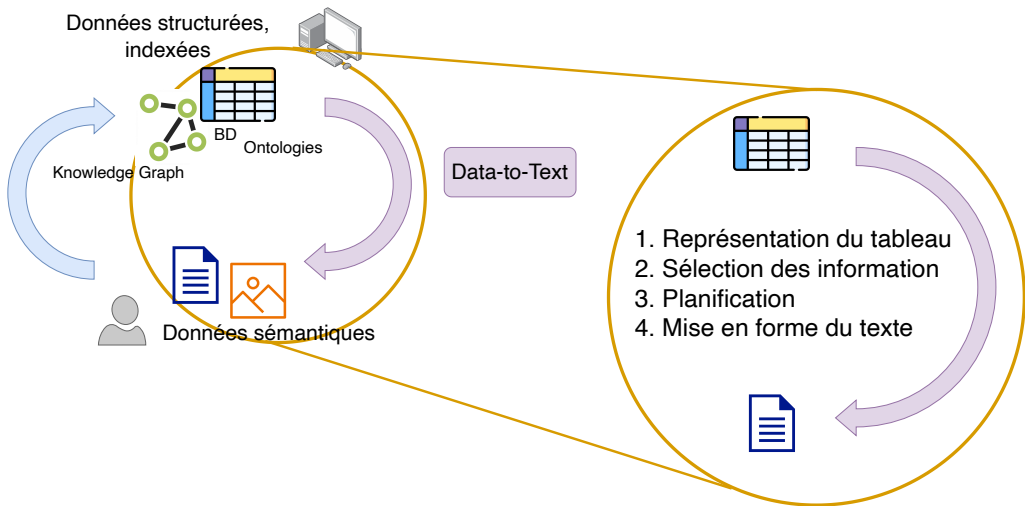
▶ Extensions

DATA-TO-TEXT



Un processus complexe en plusieurs étapes

Extraction
d'information



Exemple (1)

A Hierarchical Model for Data-to-Text Generation	
Type	Long Paper
Length	12 pages
Authors	Clement Rebuffel; Laure Soulier; Geoffrey Scouteteen; Patrick Gallinari
Published	14 April 2020
Conference	42nd European Conference on Information Retrieval

- 1

- 2

- 4

- 3

A Hierarchical Model for Data-to-Text Generation (Rebuffel et al.) will be published at ECIR 2020

- ▶ Content Selection
 - ▶ Macro-planning
 - ▶ Surface realisation
 - ▶ Sentence aggregation
 - ▶ Data abstraction/interpretation



Exemple (2)

	Fund	Benchmark	Excess	Allocation	Selection	FX rates	CGT Prov	Residual
OFFICIAL PERFORMANCE (net)	-2,30%	5,34%	-7,64%					
OFFICIAL PERFORMANCE (gross)	3,48%	5,34%	-1,86%	MANAGEMENT EFFECTS	-0,81%	-1,42%	0,45%	-0,01%
INTERNAL PERFORMANCE	-3,10%	5,34%	-2,24%					

Reference Benchmark : MSCI China A, NR

Report Currency : EUR

SECURITY LEVEL - BIGGEST CONTRIBUTORS TO EXCESS RETURN

Company Name	Grouping	Perf	Var(W)	Effect
China Pacific Insu	Financials	13,43	3,15	0,25
Shand Lu'an Envir	Energy	14,82	2,12	0,21
Anhui Conch Cement	Materials	13,41	2,56	0,20
China Minsheng Ban	Financials	10,61	3,58	0,18
Jizhong Energy Res	Energy	13,61	2,20	0,18
Jiangsu Yueda Inv	Industrials	11,78	2,24	0,14
Poly Real Estate G	Financials	9,14	3,50	0,13
Xinjiang Ba Yi Ire	Materials	16,69	0,89	0,10
China Nonferrous	Materials	13,84	0,96	0,08
China Baan Group	Industrials	17,34	0,61	0,07

SECURITY LEVEL - BIGGEST DETRACTORS FROM EXCESS RETURN

Company Name	Grouping	Perf	Var(W)	Effect
Nari Tech Dev Co	Industrials	-6,48	3,26	-0,39
Shandong Denghai S	Consumer Staples	-8,32	1,76	-0,26
Zte Corp	Information Technology	-9,38	1,66	-0,25
Mesnac Co.Ltd	Industrials	-9,17	1,54	-0,22
Yunnan Baiyao Grp	Health Care	-6,82	1,70	-0,22
Jiangsu Aoyang Tec	Materials	-14,77	0,49	-0,22
Fujian Septwolves	Consumer Discretionary	-7,86	1,46	-0,20
Tianjin Tasyi Phar	Health Care	-9,11	1,05	-0,17
Xi An Aero-Engine	Industrials	-3,10	1,83	-0,16
Ping An Insurance	Financials	13,27	-1,96	-0,15

SECTOR LEVEL - BEST ALLOCATION DECISIONS

Grouping	Var(W)	Segm. Perf	Effect
Health Care	-2,24	-5,53	0,25
Consumer Discretionary	-4,65	3,12	0,11
Energy	2,51	9,23	0,10
Industrials	0,19	5,23	0,01
Utilities	0,29	1,67	-0,01

SECTOR LEVEL - BEST SELECTION DECISIONS

Grouping	PF Perf	BM Perf	Effect
Financials	9,58	8,69	0,22
Information Technology	-1,93	-2,63	0,07
Telecommunication Services	-0,89	-2,01	0,01

In January (30/12/2011 to 20/1/2012), Flexifund Equity China A rose in value by **3.48%** compared to a gain of **5.34%** for its index in Euro terms. Both asset allocation and stock selection detracted from relative performance, as the market focused on oversold or cyclical themes, due to better global risk appetite and more positive economic news.

From a sector allocation perspective, [...]

Materials	7,37	11,15	-0,35
Consumer Discretionary	-2,19	3,12	-0,28



Exemple (3)

Toronto Raptors (4-2)

Player	MIN	ORTG	USG%	PTS	FG	3PT	FT	OREB	DREB	TO	AST	BLK	STL	PF
Pascal Siakam F	46	132.0	20.4	26	10-17	3-6	3-4	2	0	2	3	1	1	2
Kawhi Leonard F	41	115.7	23.5	22	7-16	1-5	7-8	1	5	2	3	1	2	4
Marc Gasol C	27	98.8	12.8	3	0-5	0-2	3-4	3	6	1	4	0	0	4
Kyle Lowry G	42	137.3	23.2	26	9-16	4-7	4-6	2	5	3	10	0	3	5
Danny Green G	18	-	2.5	0	0-0	0-0	0-0	0	1	1	3	0	1	1
Fred VanVleet G	34	132.5	22.7	22	6-14	5-11	5-5	1	1	1	0	0	1	1
Serge Ibaka C	22	118.7	29.5	15	7-12	0-1	1-2	2	1	1	2	0	0	4
Norman Powell G	11	-	12.4	0	0-2	0-1	0-0	0	1	1	0	0	0	2
Game Total	240	-	-	114	39-82	13-33	23-29	11	28	12	25	2	8	23

Golden State Warriors (2-4)

Player	MIN	ORTG	USG%	PTS	FG	3PT	FT	OREB	DREB	TO	AST	BLK	STL	PF
Draymond Green F	44	92.9	19.0	11	5-10	1-4	0-2	4	15	8	13	2	3	4
Andre Iguodala F	32	117.1	25.0	22	9-15	3-6	1-5	0	2	1	2	1	0	3
Kevon Looney C	27	109.4	13.2	6	3-7	0-0	0-0	2	1	1	4	1	1	2
Stephen Curry G	42	113.3	23.7	21	6-17	3-11	6-6	1	2	3	7	1	2	3
Klay Thompson G	32	160.6	25.0	30	8-12	4-6	10-10	1	4	2	9	0	2	3
DeMarcus Cousins C	19	117.3	27.6	12	4-9	0-1	4-7							
Shaun Livingston G	16	92.0	16.7	6	3-5	0-0	0-0							
Quinn Cook G	18	73.2	10.3	2	1-3	0-2	0-0							
Alfonzo McKinnie F	10	-	4.4	0	0-1	0-1	0-0							
Andrew Bogut C	3	-	-	0	0-1	0-0	0-0							
James Jerebko F	2	-	-	0	0-0	0-0	0-0							
Game Total	240	-	-	110	39-80	11-31	21-30							

The **Toronto Raptors** defeated the host **Golden State** Warrior, **114-110**, in Game 6 of the NBA Finals at ORACLE Arena on Thursday. [...]

The **Raptors** (4-2) were lead by **Kyle Lowry**, as he accrued **26 points, seven rebounds, 10 assists and three steals**. [...]

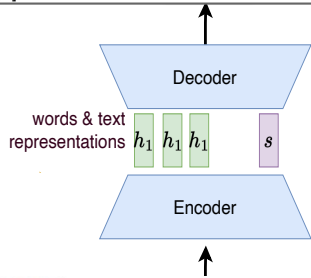
[...]

Comment aborder les données structurées ?

The **Toronto Raptors** defeated the host **Golden State** Warrior, **114-110**, in Game 6 of the NBA Finals at ORACLE Arena on Thursday. [...]

The **Raptors** (4-2) were lead by **Kyle Lowery**, as he accrued **26 points, seven rebounds, 10 assists and three steals**. [...]

[...]



- ▶ R Resume
- ▶ T Table

$$P(R \mid T, \theta) = \prod_{i=1}^{\ell} P(y_i \mid y_{<i}, T, \theta)$$

Comment encoder la table?

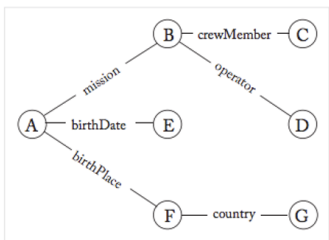
Player	MP	DRB	LBR	PTS	FG	3PT	FT	OREB	DEORB	TO	STL	SBL	STL	PF
Frederick Stambaugh	46	12.3	25.4	26	16/17	3/4	3/4	2	0	2	3	1	1	2
Kyle Lowry	41	19.7	21.5	22	7/16	1/1	1/1	1	3	2	3	1	2	4
Marco Belinelli	21	13.3	13.6	3	6/6	0/1	3/4	3	6	1	4	0	0	4
Kyle Lowry	42	157.0	23.2	26	9/16	4/7	4/6	2	3	3	13	3	3	5
Dwight Howard	18	-	2.5	8	6/6	0/0	0/0	0	1	1	3	3	1	1
Fred VanVleet	34	132.5	23.7	22	6/14	5/11	5/5	1	3	1	3	3	1	1
Siakam	22	18.7	21.5	15	7/12	0/1	1/2	2	1	1	2	3	0	4
Hassan Whiteside	11	-	13.4	8	6/2	0/1	0/0	0	1	1	3	3	0	2
Game Total	346	-	-	194	28/42	13/33	23/29	11	21	12	29	2	8	20



Linéarisation de table & pre-training

Country	PTS
Germany	2
Argentina	0

[(0, Country, Germany), (0, PTS, 2), (1, Country, Argentina), (1, PTS, 0)]

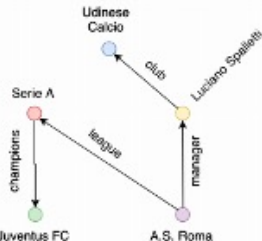


Input: A (birthPlace F (country G)) (birthDate E) (mission B (operator D) (crewMember C))

(Narayan and Gardent et al. 2020) Deep Learning Approaches to Text Production



Linéarisation de table & pre-training



<S> Serie A <P> champions <O> Juventus F.C.
 <S> Luciano Spalletti <P> club <O> Udinese
 Calcio <S> A.S. Roma <P> manager <O> Luciano
 Spalletti <S> A.S. Roma <P> league <O> Serie A

AS Roma play in the Serie A league where Juventus FC are the champions. Their manager is Luciano Spalletti who has been associated with Udinese Calcio.

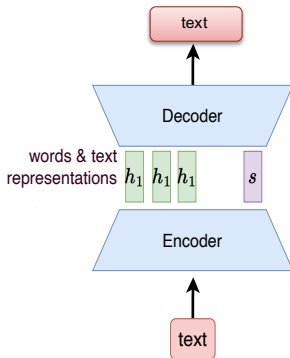
Domain	train
Inform	arrive_by : 11:51
Request	num_people

train inform arriveby = 11:51 | train request
 people = ?

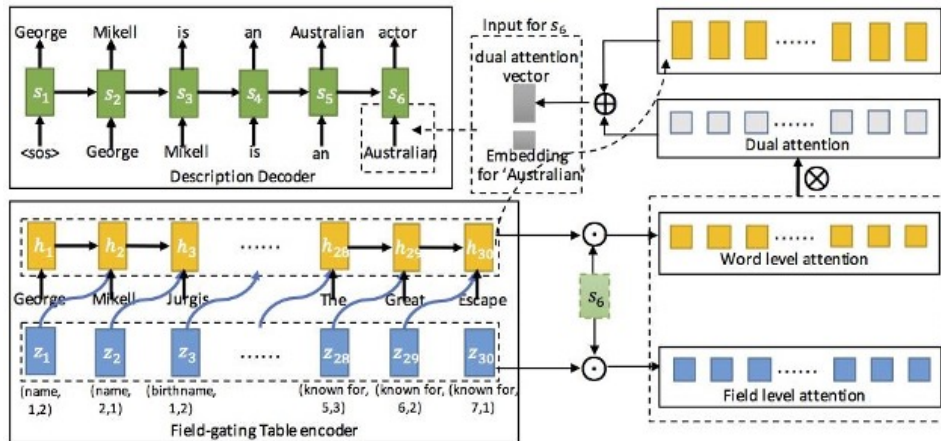
The closest arrival time I can give you is 11:51, is that ok? And how many tickets would you like?

<page_title> Cristian Stuani </page_title>
 <section_title> International goals </section_title>
 <table> <cell> 2. <col_header> No. </col_header> </cell>
 <cell> 13 November 2013 <col_header> Date </col_header>
 </cell> <cell> Amman International Stadium, Amman,
 Jordan <col_header> Venue </col_header> </cell> <cell>
 Jordan <col_header> Opponent </col_header> </cell>
 <cell> 5-0 <col_header> Result </col_header> </cell>
 </table>

On 13 November 2013 Cristian Stuani netted the second in a 5-0 win in Jordan.



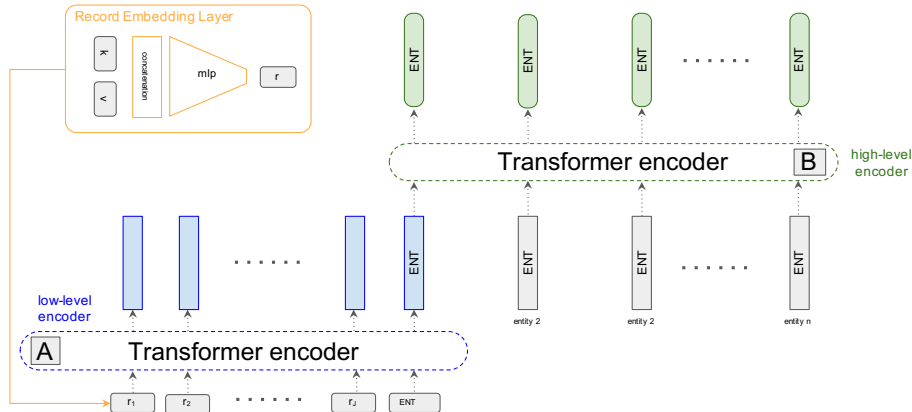
Amélioration: encoder & sélectionner les valeurs du tableau



- ▶ Scores d'attention sur les mots et les champs de la table
- ⇒ Apprendre à encoder + sélectionner les informations



Amélioration: encoder & sélectionner hiérarchiquement



- ▶ Encodage hiérarchique sur Rotowire (stats des joueurs match basket):
 - ▶ Encodage d'une case du tableau - ref. colonne
 - ▶ Encodage d'une ligne du tableau (token [ENT]) - ensemble du joueur
 - ▶ Encodage du tableau



Et au bout du compte?

Generate in English: <S> Trane <P> founding date <O> 1913-01-01 <S> Trane <P> location <O> Ireland <S> Trane <P> foundation place <O> La Crosse, Wisconsin <S> Trane <P> number of employees <O> 29000

Generate in Russian: <S> Trane <P> founding date <O> 1913-01-01 <S> Trane <P> location <O> Ireland <S> Trane <P> foundation place <O> La Crosse, Wisconsin <S> Trane <P> number of employees <O> 29000

Trane, which was founded on January 1st 1913 in La Crosse, Wisconsin, is based in Ireland. It has 29,000 employees.

Компания "Тране", основанная 1 января 1913 года в Ла-Кроссе в штате Висконсин, находится в Ирландии. В компании работают 29 тысяч человек.

T5 base

Trane, which was founded on January 1st 1913 in La Crosse, Wisconsin, is based in Ireland. It has 29,000 employees.

Компания "Тране", основанная 1 января 1913 года в Ла-Кроссе в штате Висконсин, находится в Ирландии. В компании работают 29 тысяч человек.

<S> Trane <P> founding date <O> 1913-01-01 <S> Trane <P> location <O> Ireland <S> Trane <P> foundation place <O> La Crosse, Wisconsin <S> Trane <P> number of employees <O> 29000

<S> Trane <P> founding date <O> 1913-01-01 <S> Trane <P> location <O> Ireland <S> Trane <P> foundation place <O> La Crosse, Wisconsin <S> Trane <P> number of employees <O> 29000

- ▶ T5: un modèle *tout en un* dédié aux traductions des données structurées
- ▶ Passage D2T et T2D possible avec le même modèle



Grandes pathologies de la génération de texte

Attribute	Value
Birthplace	<i>Utah, America</i>
Position	<i>forward (soccer player)</i>

Omission

A soccer player, who plays as a forward.

- Contenu attendu mais manquant dans le texte généré

- Des connaissances issues du LLM interfèrent
- Sur-apprentissage de pattern de sélection de la base d'apprentissage

Hallucination

A Utah forward, from the national team.

- Texte généré contient du texte divergent de la table
- Textes de références souvent divergents

(Liu et al. 2019) Example from Towards Comprehensive Description Generation from Factual Attribute-value Tables

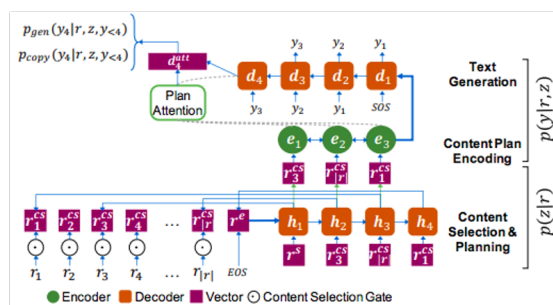
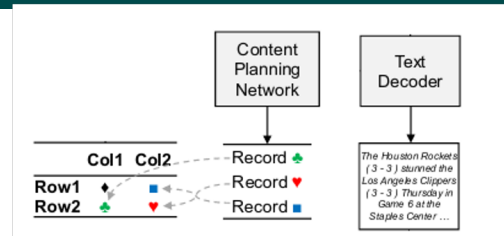


Améliorer la génération par la planification

- ▶ Guidage = lutte contre les hallucinations

- 1 Génération d'un plan (séquence ordonnées de clés-valeurs)
- 2 Génération du texte final

Variante : génération séquentielle d'un élément du plan et de la phrase associée



(Puduppully et al. 2018) Data-to-Text Generation with Content Selection and planning.
 (Puduppully et al. 2022) Data-to-text Generation with Variational Sequential Planning

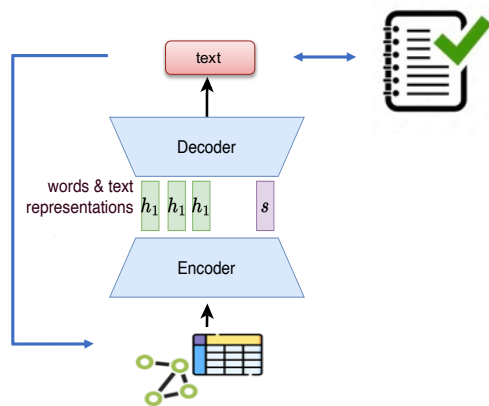


Optimiser directement la génération

- 1 Trouver la bonne métrique:
PARENT
métrique d'appariement
entre le texte généré et les
données structurées
(n-grams, co-occurrences)
- 2 Optimiser la métrique non
dérivable
⇒ Apprentissage par
renforcement

RL loss based on PARENT loss

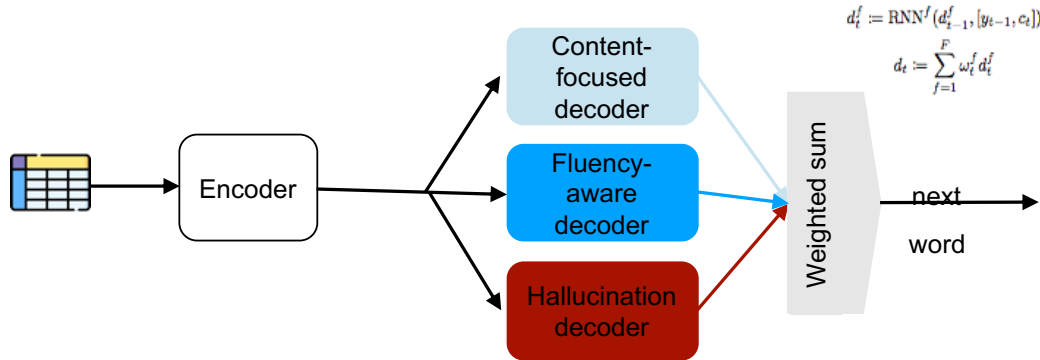
$$\mathcal{L} := \gamma \mathcal{L}_{rl} + (1 - \gamma) \mathcal{L}_{ml}$$



(Rebuffel et al. 2020) PARENTing via Model-Agnostic Reinforcement Learning to Correct Pathological Latent Bias in Data-to-Text Generation - INLG 2020



Distinguer les hallucinations lors du décodage



Architecture multi-branches

- ▶ **Supervision** très fine des phrases générées
- ▶ Séparation des **différents générateurs** (RNN) + Scores
- ▶ **Balance** lors de la génération

(Rebuffel et al. 2022) Controlling hallucinations at word level in data-to-text generation,
DMKD 2022

Apprentissage contrastif

Lutter contre les hallucinations en *Question-Answering*

- 1 Modèle conditionné à la table et la question
- 2 Modèle simple (conditionné par la question seule)

Donnée structurée (entrée)	Texte attendu	Texte bruité
<H> AMC_Matador <R> bodyStyle <T> Coupé	The AMC Matador's body style is Coupé	The Alc Matador is a Spanish bourgeois coupe .
name[Clowns] eatType[coffee shop] food[Fast food] customer rating[high] area[riverside] near[Clare Hall]	Clowns is a coffee shop which offers fast food and has high customer ratings , and may be found near Clare Hall in the riverside area	Cats and coffee shop , and the fast food place, Clowns , is located near Clare Hall . It is in the riverside area. It has a high customer rating .

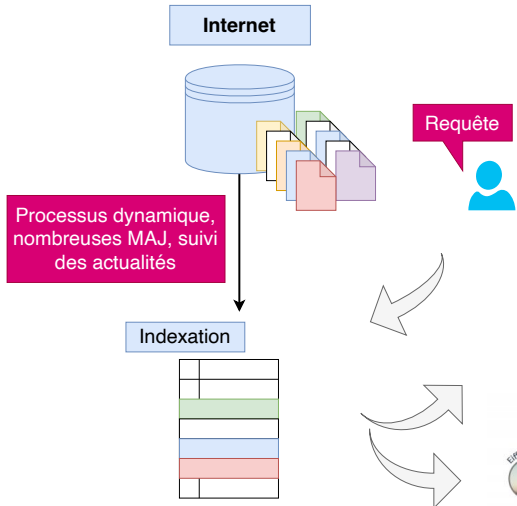
- ⇒ Apprendre à éliminer les hallucinations = cout contrastif entre générations
⇒ PPO/DPO pour l'apprentissage

(LeBonne et al. 2024) Rédaction en cours :)

ACCÈS À L'INFORMATION ET MODÈLE DE LANGUE



Usage en accès à l'information



information

1. Action d'informer quelqu'un, un groupe, de le tenir au courant des événements : La presse est un moyen d'information.
2. Indication, renseignement, précision que l'on donne ou que l'on obtient sur quelqu'un ou quelque chose : Manquer d'informations sur les causes d'un accident.

Larousse
<https://www.larousse.fr/dictionnaires/francais/infor...>
information, informations - Dictionnaire de français Larousse

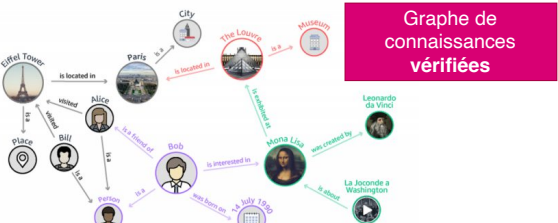
Franceinfo
<https://www.franceinfo.fr>
Franceinfo - Actualités en temps réel et info en direct

Pour savoir ce qui se passe maintenant - Toutes les Infos lentes minute par minute par la rédaction de Franceinfo. Photos, vidéos, tweets et vos ...

Direct Radio - Direct TV - En direct - Fait-divers

20 Minutes
<https://www.20minutes.fr>
20 Minutes - Toute l'actualité en direct et les dernières infos en ...
 Suivez l'actualité du jour sur 20 Minutes, média gratuit et indépendant. Politique, Sport, Culture, High Tech, Ecologie... toute l'info en continu.
 Le direct - Actualité générale - Jeux - Guerre en Ukraine

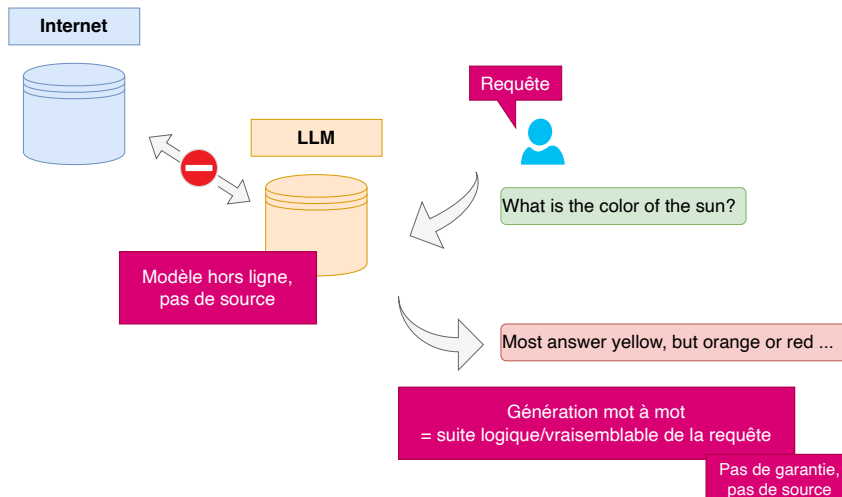
Résultats sourceds





Usage en accès à l'information

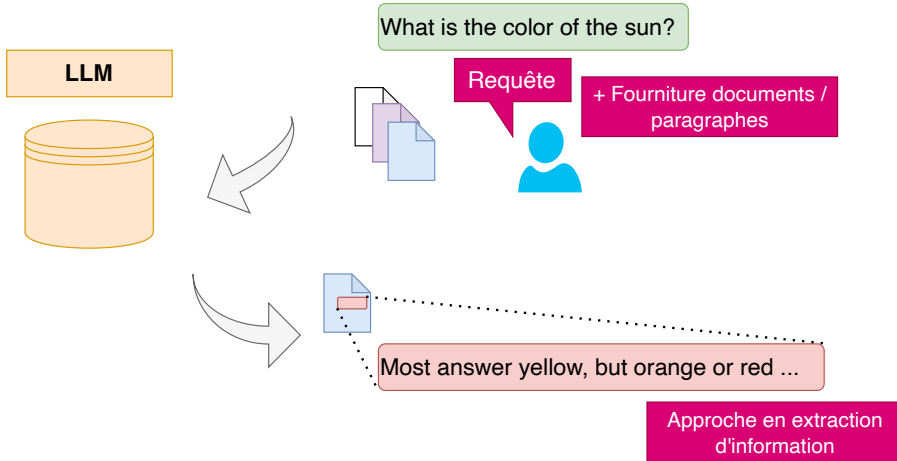
- Demander des informations à chatGPT... Un usage étonnant !



- LLM limité en connaissances
- Risque d'hallucination à la génération

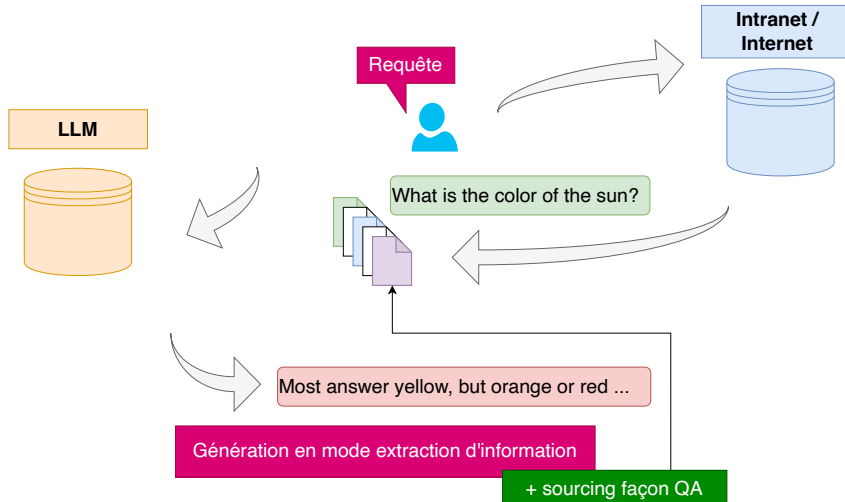


Usage en accès à l'information



- Requête web + analyse, résumé automatique, reformulation, compte-rendus de réunion...
- Limite (actuelle) sur la taille des entrées (2k puis 32k puis 100k tokens)

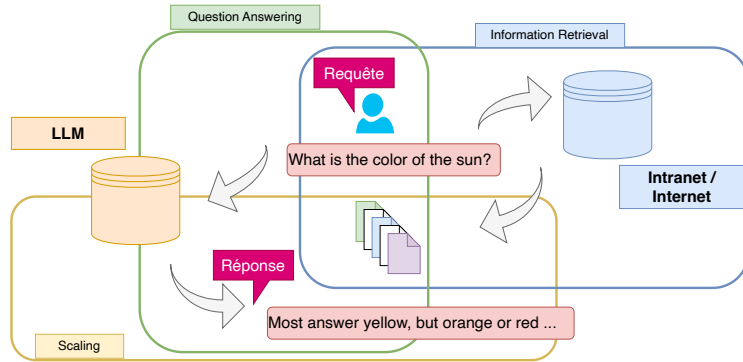
Usage en accès à l'information



- *RAG: Retrieval Augmented Generation*
- Limite (actuelle) sur la taille des entrées (2k puis 32k puis 100k tokens)



L'état de l'art en RAG



Retrieval-Augmented Generation (RAG) [1]

Improve performance on knowledge intensive task (question answering)

Retrieval-Augmented Language Model (REALM) [2]

Integrate retrieval augmented into the pre-training

Retrieval-Enhanced Transformer (RETRO) [3]

Scale generation to large number of retrieved documents

[1] Guu et al (2020), REALM: Retrieval-Augmented Language Model Pre-Training

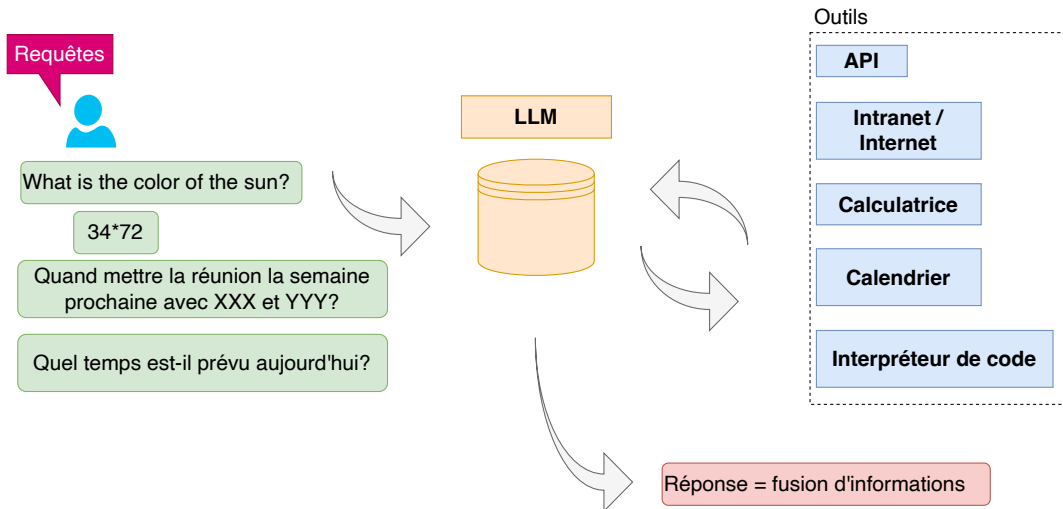
[2] Lewis et al (2020) Retrieval-Augmented Generation for Knowledge-Intensive NLP Tasks

[3] Borgeaud et al (2022) Improving Language Models by Retrieving from Trillions of Tokens



Multiplier les outils: le LLM / couteau Suisse

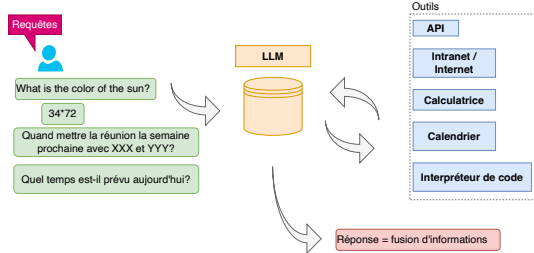
- ▶ Apprendre au LLM à appeler (*balise*) des outils externes





Multiplier les outils: le LLM / couteau Suisse

- ▶ Apprendre au LLM à appeler (*balise*) des outils externes



The New England Journal of Medicine is a registered trademark of [QA("Who is the publisher of The New England Journal of Medicine?") → Massachusetts Medical Society] the MMS.

Out of 1400 participants, 400 (or [Calculator(400 / 1400) → 0.29] 29%) passed the test.

The name derives from "la tortuga", the Spanish word for [MT("tortuga") → turtle] turtle.

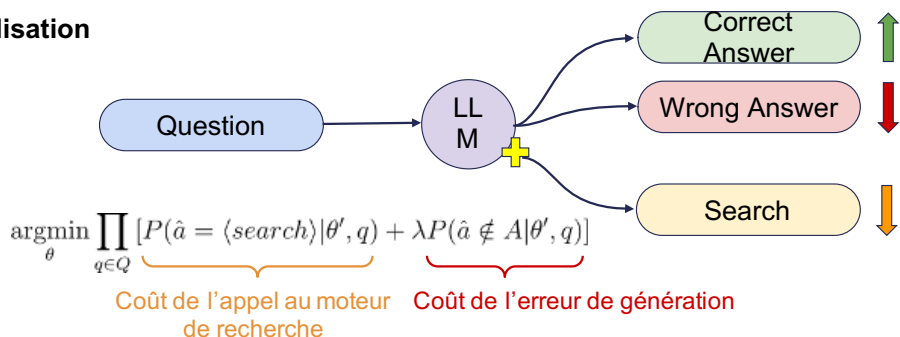
The Brown Act is California's law [WikiSearch("Brown Act") → The Ralph M. Brown Act is an act of the California State Legislature that guarantees the public's right to attend and participate in meetings of local legislative bodies.] that requires legislative bodies, like city councils, to hold their meetings open to the public.



Optimiser le cout des outils

Objectif : Apprendre à générer le token <SEARCH> lorsque cela est nécessaire

Formalisation



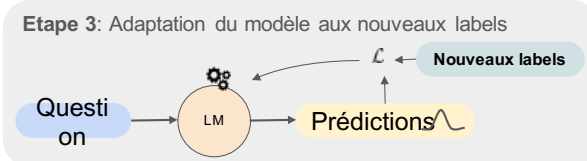
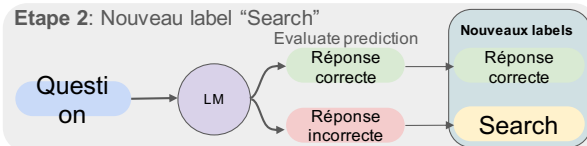
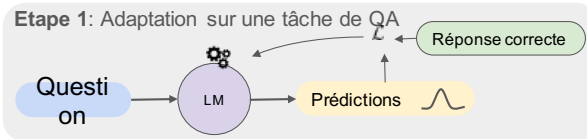
- ▶ Toolsformer appelle le moteur de recherche dans 99% des cas
- ▶ Peut-on faire la balance avec les connaissances du LLM?



Optimiser le cout des outils

Apprendre une fonction de filtrage qui :

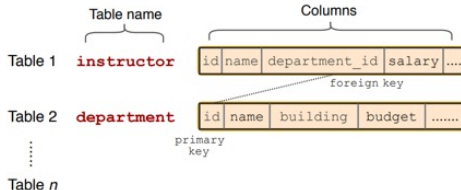
- Laisse inchangé les **Correct Answer**
- Masque les **Wrong Answer** avec **Search**





Le SQL: un outil comme les autres?

Annotators check database schema (e.g., database: college)



Annotators create:

Complex question What are the name and budget of the departments with average instructor salary greater than the overall average?

Complex SQL

```

SELECT T2.name, T2.budget
FROM instructor AS T1 JOIN department AS T2
ON T1.department_id = T2.id
GROUP BY T1.department_id
HAVING avg(T1.salary) >
(SELECT avg(salary) FROM instructor)
    
```

Easy

What is the number of cars with more than 4 cylinders?

```

SELECT COUNT(*)
FROM cars_data
WHERE cylinders > 4
    
```

Medium

For each stadium, how many concerts are there?

```

SELECT T2.name, COUNT(*)
FROM concert AS T1 JOIN stadium AS T2
ON T1.stadium_id = T2.stadium_id
GROUP BY T1.stadium_id
    
```

Hard

Which countries in Europe have at least 3 car manufacturers?

```

SELECT T1.country_name
FROM countries AS T1 JOIN continents
AS T2 ON T1.continent = T2.cont_id
JOIN car_makers AS T3 ON
T1.country_id = T3.country
WHERE T2.continent = 'Europe'
GROUP BY T1.country_name
HAVING COUNT(*) >= 3
    
```

Extra Hard

What is the average life expectancy in the countries where English is not the official language?

```

SELECT AVG(life_expectancy)
FROM country
WHERE name NOT IN
(SELECT T1.name
FROM country AS T1 JOIN
country_language AS T2
ON T1.code = T2.country_code
WHERE T2.language = "English"
AND T2.is_official = "T")
    
```

Figure 3: SQL query examples in 4 hardness levels.

- ▶ TableQA: schema + question ⇒ SQL
- ▶ Comprendre ce qui est facile ou dur



Le SQL: un outil comme les autres?

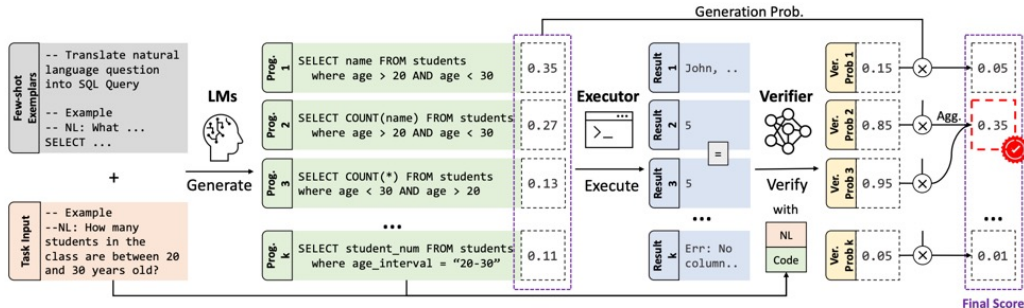


Figure 1: The illustration of LEVER using text-to-SQL as an example. It consists of three steps: 1) *Generation*: sample programs from code LLMs based on the task input and few-shot exemplars; 2) *Execution*: obtain the execution results with program executors; 3) *Verification*: using a learned verifier to output the probability of the program being correct based on the NL, program and execution results.

- ▶ Prédire les bonnes et les mauvaises réponses
- ▶ Plus de feedback pour mieux apprendre

(Ni et al. 2023), LEVER: Learning to Verify Language-to-Code Generation with Execution



Le SQL: un outil comme les autres?

Question : The player's career spanned less than 20 years ?

Date	Games	Yards	Team
1983	16	1,808	Los Angels Rams
1984	16	2,105	Los Angels Rams
...			
1993	4	91	Atlanta Falcons
Career	146	13,256	

Answer : True

(a) Extractive

Column cells Selection

1993	..	1983
------	----	------

Aggregations

Max

Answer : 1993 X

Error Explanation

struggles with Complex, multi-aggregation queries.

(b) SQL-Queries

SQL Generation

```
select ( select max ( Date ) - min ( Date ) from w ) < 20
```

Answer : None X

Error Explanation

invalid input syntax for type integer: 'Career'

(c) Direct Answer Generation

Answer : False X

Error Explanation

Limited Numerical Reasoning in Transformers

d) Partial execution (ours)

Table → Encoder → Decoder → clean data during decoding → Logical Form answer

Logical Form answer

$$< 20 \parallel - \parallel \max \parallel 1983 \mid \dots \mid 1993 \parallel \parallel \min \parallel$$

P1 P2

Graph Answer

True ✓

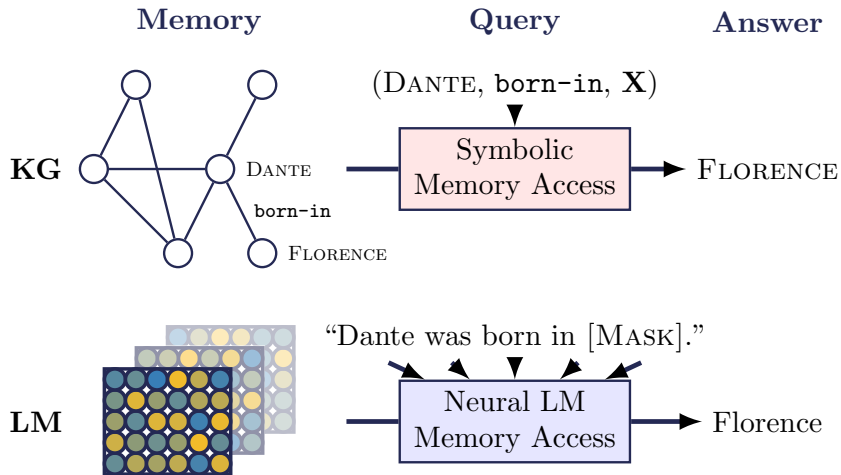
- ▶ Apprendre à raisonner numériquement à partir d'une base étiquetée en SQL
- ▶ Le LLM apprend à évaluer les requêtes SQL

(Mouravieff et al. 2024), Training Table Question Answering via SQL Query Decomposition

CONCLUSION



Sous quelle forme stocker les connaissances?

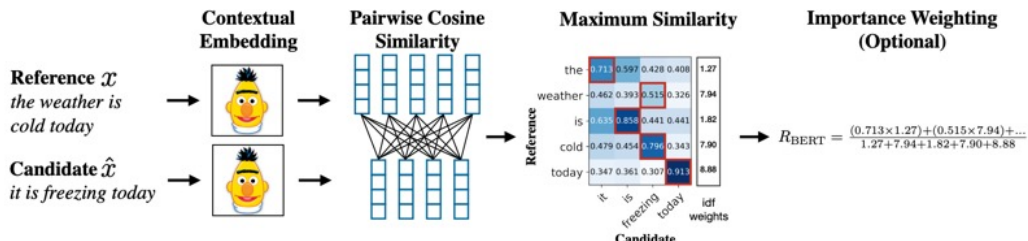
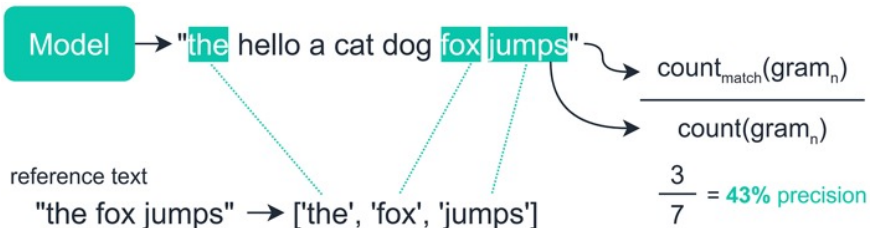


- Exhaustivité?
- Fiabilité?

² Fabio Petroni et al. (2019). “Language Models as Knowledge Bases?” In: EMNLP. Association for Computational Linguistics



Comment évaluer les modèles de langue?



Comment évaluer la qualité d'un texte ou d'une image générée ?



Conclusion et perspective

- ▶ LLM + Instruction = le début d'un mouvement
 - ▶ Objet de recherche dépassé par les usages
- ▶ Des technologies **chères** (mais un coût en baisse)
 - ▶ Ressources disponibles: Jean Zay
- ▶ Des limites critiques:
 - ▶ Evaluation
 - ▶ Contrôle / garantie sur la génération

EXTRACTION D'INFORMATION: LES NOMBREUX DÉFIS

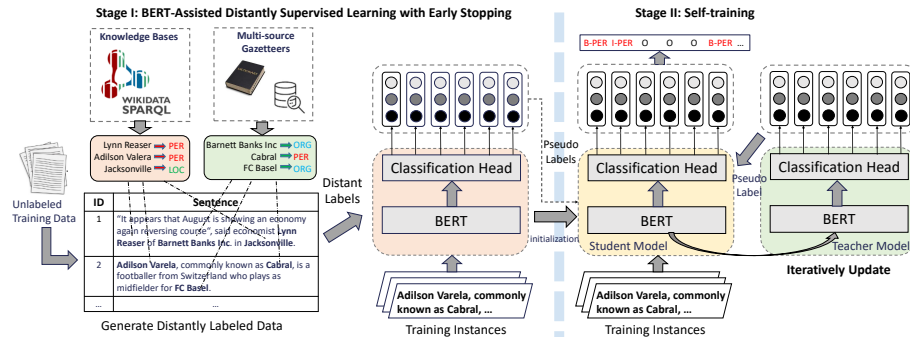


Résoudre l'annotation: auto-supervision (ex-distillation)

Processus NER standard

- 1 Liste d'entités
- 2 Etiquetage automatique du corpus
regex

- 3 Inférence sur le test
- 4 Ré-apprentissage
Teacher-student



3

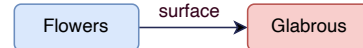
³ Chen Liang et al. (2020). "Bond: Bert-assisted open-domain named entity recognition with distant supervision". In: ACM SIGKDD



Application à l'analyse des descriptions de flores

Extraction d'Information ⇒ Clé-valeur

<ORGAN> Flowers </ORGAN> 4-merous. Calyx aestivation
 valvate, campanulate, 2-3.6mm long, abaxially
 <DESC-SURFACE> glabrous </DESC-SURFACE>



solitary flowers; bracts 4–8, chartaceous, ovate or transverse-elliptic, 0.4–1.6 × 0.4–1.5 mm, marginally ciliolate with eglandular hairs, apically obtuse, obtuse and cuspidate, or acute, abaxially glabrous; pedicel 1–1.2 mm long, reduced and hidden by overlapping bracts, glabrate with eglandular hairs; differentiated apical bracteoles 2, distinct, chartaceous, partially enveloping calyx lobes, covering 50–67% of calyx, ovate, 1.5–2(–2.5) × 1.6–3 mm, marginally ciliolate or ciliate with eglandular hairs, apically obtuse and cuspidate or less often acuminate, the surface smooth, abaxially and adaxially glabrous. **Flowers** 4-merous. Calyx aestivation valvate, campanulate, (2-)2.4–3.3 mm long; tube slightly angled, 0.8–1.3 mm long,

TABLE I
 STATISTICS ON THE DATASET : CLASSES, NUMBER OF DISTINCT WORDS IN EACH CLASS AND NUMBER OF OCCURRENCES IN THE CORPUS.

Set	Class	Occurrences	Number of words
\mathcal{Y}_0	Flower	22890	23
	Fruit	4968	10
	Habit	1920	3
	Leaf	4364	5
	Part-of	23849	25
	Stem-root	3296	7
\mathcal{Y}_1	Color	18342	15
	Disposition	8405	21
	Form	24816	64
	Position	10936	13
	Surface-texture	18325	23

⁴ Maya Sahraoui et al. (2022). “NEARSIDE: Structured kNowledge Extraction frAmework from Species DEscriptions”. In: Biodiversity Information Science and Standards



Application à l'analyse des descriptions de flores

Models	Precision	Recall	Score F1
Baseline	100/93.83	75.74/70.82	86.19/79.26
Baseline w/ lm	100/95.15	85.28/80.82	92.05/86.54
Baseline w/self-train	100/94.42	84.29/80.15	91.47/86.22

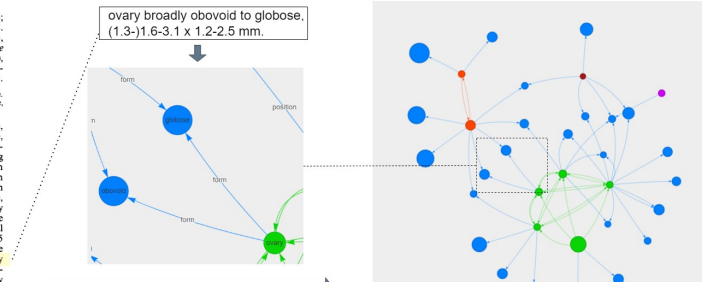
MODEL'S ABILITY TO DETECT AND CLASSIFY NEW ENTITIES, OUT OF THE TRAIN SET'S DISTRIBUTION. (DETECTION/CLASSIFICATION SCORES)

Models	Precision	Recall	Score F1
Baseline	100/92.33	64.78/54.52	78.62/62.76
Baseline w/ lm	100/89.88	69.21/57.73	81.80/65.17
Baseline w/self-train	100/90.76	68.95/57.82	81.62/64.90

4. *Burmannia tenella* Bentham, Hooker's J. Bot. Kew Gard. Misc. 7: 12. 1855; Maina, Ark. Bot. 26A: 20. 1934; Jonker, Monogr. Burmannia 77: 1938. Type: Brazil, Amazonas: "In sylvis arenosis fl. Vaupés," Jan 1853, Spruce 2835 (holotype, K). It could not be ascertained whether Spruce 2835 (B, BM, BR, C, CA, F, G, GH, K, LE, MG, NY, OXF, P, W), labeled "Oct 1852-Jan 1853. Prope Panuré (=Ipanoré)" must be considered as isotypes of this species. Fig. 18.

Burmannia amazonica Schlechter, Verh. Bot. Vereins Prov. Brandenburg 47: 102. 1905. Type: Brazil, Amazonas: Rio Marmelos, near falls, Rio Madeira, Ule 6124 (holotype, B; isotype, HBG).

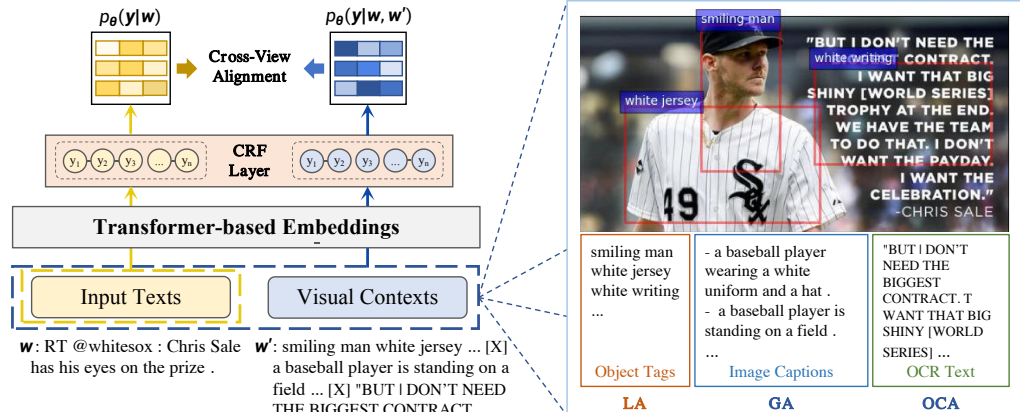
Saprophytic herbs, 8–23 cm high. Stems white, branched or not. Leaves white, ovate to narrowly triangular-ovate, 1–3.6(–6) mm long, (0.4–)0.6–1.3 mm wide, apex acute to acuminate. Inflorescence a bifurcate cincinnus, cincinni 2–5(–8)-flowered, and 5–17(–30) mm long, flowers 2.5–8 mm apart, or the plant having a solitary terminal flower only. Bracts narrowly ovate-(triangular), 1.2–3.3 mm long, 0.4–0.9 mm wide, apex acute to mostly acuminate. Pedicels (0–)0.8–1.5 mm long, central (basal) flower mostly sessile. Flowers tubular, white to pale blue with yellowish tepals, 4.5–7 mm long. Outer tepals delitate to broadly angular-ovate, 1.14(–1.6) mm long, 0.8–1.2 mm wide, inner side papillate. Inner tepals very broadly ovate-triangular, 0.1–0.3 mm long, 0.1–0.4 mm wide, fleshy. Floral tube 1.7–2.8 mm long, 0.5–1.2 mm diam. Wings running from the top of the floral tube down to the base of the ovary, (broadly) semicardate to semiovate, 2–3.5 mm long, 0.6–2.3 mm wide. Connective bearing apically two and basally one appendage. Style 1.8–2.6 mm long, branches 0.4–0.7 mm long. Ovary broadly ovoid to globose, (1.3–)1.6–3.1 × 1.2–2.5 mm. Capsule white to yellow, broadly ovoid to globose, (1.3–)1.6–3.1 × 1.2–2.5 mm. Longitudinally





Perspective: extension vers la multimodalité

⇒ Retrouver les **entités dans les images** à partir d'approche texte/image



⁴ Xinyu Wang et al. (2022). "ITA: Image-Text Alignments for Multi-Modal Named Entity Recognition". In: NAACL



Perspective: extension vers la multimodalité

⇒ Retrouver les **entités dans les images** à partir d'approche texte/image

solitary flowers; bracts 4–8, chartaceous, ovate or transverse-elliptic, 0.4–1.6 × 0.4–1.5 mm, marginally ciliolate with eglandular hairs, apically obtuse, obtuse and cuspidate, or acute, abaxially glabrous; pedicel 1–1.2 mm long, reduced and hidden by overlapping bracts, glabrate with eglandular hairs; differentiated apical bracteoles 2, distinct, chartaceous, partially enveloping calyx lobes, covering 50–67% of calyx, ovate, 1.5–2(–2.5) × 1.6–3 mm, marginally ciliolate or ciliate with eglandular hairs, apically obtuse and cuspidate or less often acuminate, the surface smooth, abaxially and adaxially glabrous. **Flowers** 4-merous. Calyx aestivation valvate, campanulate, (2–)2.4–3.3 mm long; tube slightly angled, 0.8–1.3 mm long,



⇒ Construire des systèmes pédagogiques pour l'identification de taxons



Dynamic NER

Cas extrême où les entités changent de type tout le temps!

Exemple: détecter les joueurs de NBA... Avec le résultat du match:

victoire/défaite

A trio of 20 - point - plus efforts and a 17 - rebound night helped hand the Cavs a surprising home loss , their first defeat of the season overall . Dennis Schroder ' s season - high 28 points led the way , while Kent Bazemore put together a stellar 25 - point tally while often going up against LeBron James ' typically stingy defense . Dwight Howard dominated down low with 17 boards , 15 of them on the defensive glass . Atlanta managed a strong 51 percent success rate from the field , helping to key the victory . Kyrie Irving posted 29 points , which came on a season - high 27 shot attempts . Kevin Love ' s 24 - point , 12 - rebound double - double was next , while LeBron James posted 23 points . Poor shooting was Cleveland ' s undoing , as they posted a 37 percent success rate from the field , and 26 percent on 42 shot attempts from beyond the arc .

Same entity
Different context
Different Label

LeBron James and Kyrie Irving stepped up for a second straight night in Kevin Love ' s absence , combining for 60 points on 23 - of - 41 shooting . Irving added a career - high 13 assists , six rebounds and a steal , while James posted nine rebounds and six assists . Richard Jefferson supplied 10 points in Love ' s stead , and Tristan Thompson hauled in 15 rebounds . A pair of 10 - point efforts from Channing Frye and Iman Shumpert paced the second unit . Giannis Antetokounmpo ' s 28 points led Milwaukee , and Jabari Parker was right behind him with 27 points , as the duo tried to keep pace with Cleveland ' s Big Two . However , John Henson , Tony Snell , and Matthew Dellavedova , the remaining members of the first unit , could only combine for nine points between them . Malcolm Brodgon supplied 11 points off the bench as the only other double - digit scorer .

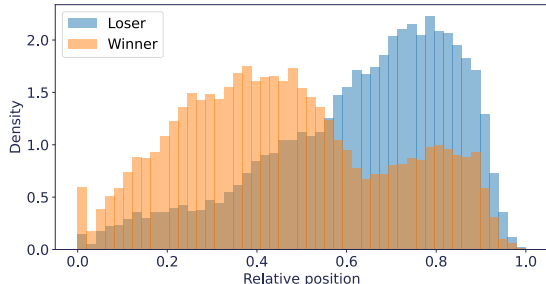
⁴ Tristan Luiggi et al. (2023). "Dynamic Named Entity Recognition". In: ACM SAC



Discussion D-NER

- ▶ Proposition de nouvelle ressource

Models	Set	RotoWire		
		DNET	DNER	Entity
BERT-Linear	Seen	0.81	0.66	0.86
	Seen/Unseen	0.81	0.65	0.85
	Unseen	0.80	0.63	0.81
BERT-CLS	Seen	0.81	0.67	0.88
	Seen/Unseen	0.81	0.68	0.87
	Unseen	0.80	0.67	0.85
BERT-CRF	Seen	-	0.67	0.90
	Seen/Unseen	-	0.67	0.88
	Unseen	-	0.66	0.87
BERT-CLS-CRF	Seen	-	0.61	0.82
	Seen/Unseen	-	0.61	0.81
	Unseen	-	0.60	0.79

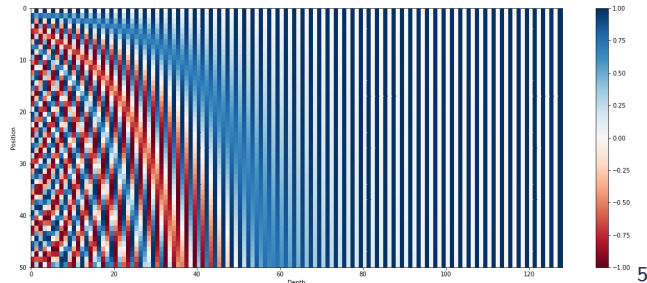
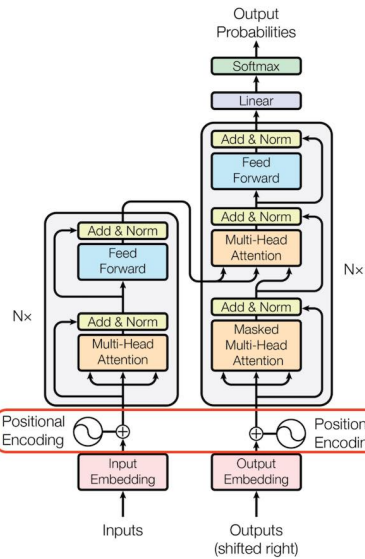


- ▶ Analyse de l'intérêt de la couche CRF
- ▶ Distinction in-domain / ood
- ⇒ Des perspectives vers l'encodage de la position des mots



Détection des entités dans un document structuré

Encodage de la position dans les documents:



5

⁵ A. Kazemnejad (2019). [Transformer Architecture: The Positional Encoding](#).



Détection des entités dans un document structuré

 <p>33 Rendle Street PO Box 308 Allenville Townsville QLD 4814 p. 07 4775 4344 e. print@pacificplanprinting.com.au</p> <p>The Taylor Family Trust t/a: 18 751 695 948</p>	<p>Tax Invoice</p> <table border="1" style="margin-left: auto; margin-right: auto;"> <tr> <td>#740.91</td> </tr> <tr> <td>07/11/2009</td> </tr> </table> <p>Ship To:</p> <table border="1" style="margin-left: auto; margin-right: auto;"> <tr> <td>05823 Anderson Fall, Gislasenfurt, CT 01771-4402</td> </tr> </table>	#740.91	07/11/2009	05823 Anderson Fall, Gislasenfurt, CT 01771-4402																																																															
#740.91																																																																			
07/11/2009																																																																			
05823 Anderson Fall, Gislasenfurt, CT 01771-4402																																																																			
<p>To: Stefan Rice</p> <p>Apt. 887 7977 Guillermo Brook, New Yasikoport, ME 93650</p>																																																																			
<table border="1" style="width: 100%; border-collapse: collapse;"> <thead> <tr> <th colspan="2">YOUR PURCHASE ORDER No.</th> <th colspan="2">TERMS</th> <th colspan="2">DATE</th> </tr> <tr> <td colspan="2"></td> <td colspan="2">Net 50</td> <td colspan="2">07/11/2009</td> </tr> </thead> <tbody> <tr> <th>QTY.</th> <th>ITEM NO.</th> <th>DESCRIPTION</th> <th>PRICE</th> <th>EXTENDED</th> <th>CODE</th> </tr> <tr> <td>719</td> <td>5593ry1</td> <td>Tiger! Tiger! Behold the Man</td> <td>496.03</td> <td>615.57</td> <td>61% S</td> </tr> <tr> <td>850</td> <td>7105vu9</td> <td>Mother Night (In Death Ground)</td> <td>800.13</td> <td>774.03</td> <td>29% S</td> </tr> </tbody> </table>		YOUR PURCHASE ORDER No.		TERMS		DATE				Net 50		07/11/2009		QTY.	ITEM NO.	DESCRIPTION	PRICE	EXTENDED	CODE	719	5593ry1	Tiger! Tiger! Behold the Man	496.03	615.57	61% S	850	7105vu9	Mother Night (In Death Ground)	800.13	774.03	29% S																																				
YOUR PURCHASE ORDER No.		TERMS		DATE																																																															
		Net 50		07/11/2009																																																															
QTY.	ITEM NO.	DESCRIPTION	PRICE	EXTENDED	CODE																																																														
719	5593ry1	Tiger! Tiger! Behold the Man	496.03	615.57	61% S																																																														
850	7105vu9	Mother Night (In Death Ground)	800.13	774.03	29% S																																																														
<table border="1" style="width: 100%; border-collapse: collapse;"> <tr> <td colspan="2">Bank Account Details:</td> <td>CODE</td> <td>RATE</td> <td>GST</td> <td>SALE AMOUNT</td> <td>SALE AMOUNT FREIGHT</td> <td>GST</td> <td>781.13</td> <td>325.75</td> <td>298.84</td> </tr> <tr> <td colspan="2">Pacific Plan Printing</td> <td>298.84</td> <td>61% S</td> <td>781.13</td> <td>TOTAL INC GST</td> <td>PAID TODAY</td> <td></td> <td>748.02</td> <td></td> <td></td> </tr> <tr> <td colspan="2">BSB: 064-817</td> <td></td> <td></td> <td></td> <td></td> <td></td> <td></td> <td></td> <td></td> <td></td> </tr> <tr> <td colspan="2">Acc: 1079 1644</td> <td></td> <td></td> <td></td> <td></td> <td></td> <td></td> <td></td> <td></td> <td></td> </tr> <tr> <td colspan="2">COLLECTED BY: PRINT NAME: _____</td> <td>SIGNATURE: _____</td> <td></td> <td></td> <td>BALANCE DUE</td> <td></td> <td></td> <td>569.74</td> <td></td> <td></td> </tr> <tr> <td colspan="11">Where no Purchase Order Number is provided, dates and signatures may be on the reverse side of the Original</td> </tr> </table>		Bank Account Details:		CODE	RATE	GST	SALE AMOUNT	SALE AMOUNT FREIGHT	GST	781.13	325.75	298.84	Pacific Plan Printing		298.84	61% S	781.13	TOTAL INC GST	PAID TODAY		748.02			BSB: 064-817											Acc: 1079 1644											COLLECTED BY: PRINT NAME: _____		SIGNATURE: _____			BALANCE DUE			569.74			Where no Purchase Order Number is provided, dates and signatures may be on the reverse side of the Original										
Bank Account Details:		CODE	RATE	GST	SALE AMOUNT	SALE AMOUNT FREIGHT	GST	781.13	325.75	298.84																																																									
Pacific Plan Printing		298.84	61% S	781.13	TOTAL INC GST	PAID TODAY		748.02																																																											
BSB: 064-817																																																																			
Acc: 1079 1644																																																																			
COLLECTED BY: PRINT NAME: _____		SIGNATURE: _____			BALANCE DUE			569.74																																																											
Where no Purchase Order Number is provided, dates and signatures may be on the reverse side of the Original																																																																			

	Invoice Number
	Invoice Date
	Shipping Address
	Customer Name
	Billing Address
	Quantity
	SKU
	Description
	Unit Price
	Total
	Balance Due

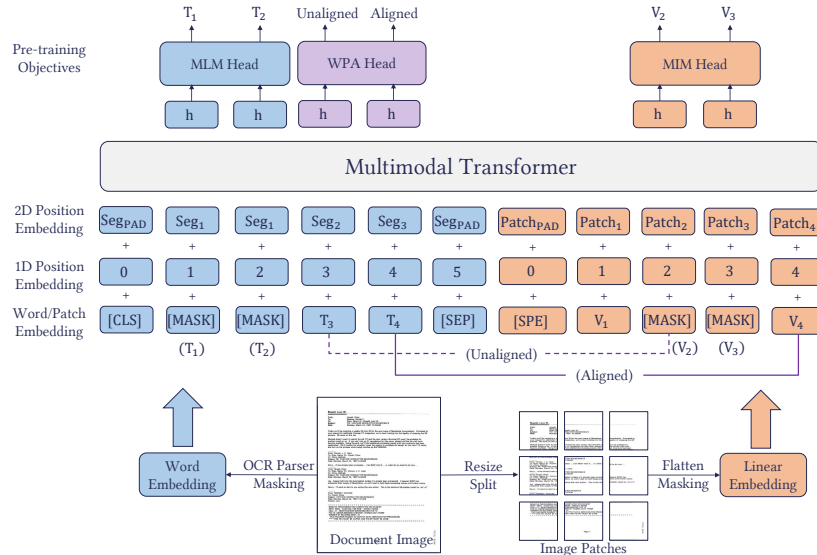
- ▶ Texte
- ▶ Image
- ▶ Coordonnées des mots

Puiser dans les modalités pour améliorer les performances

⁵ Yiheng Xu et al. (2020). "Layoutlm: Pre-training of text and layout for document image understanding". In: ACM SIGKDD



Détection des entités dans un document structuré



5

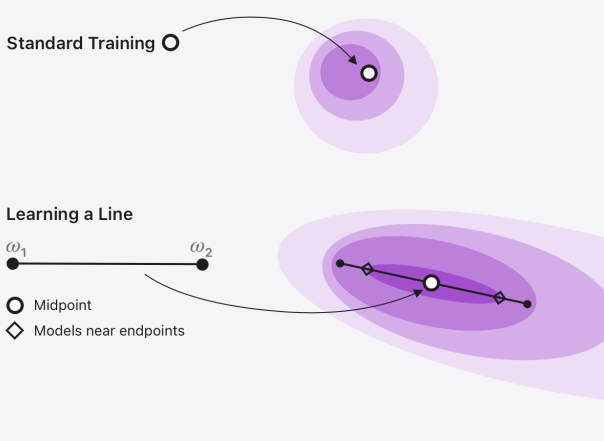
⇒ A quel moment souhaite-t-on mélanger les modalités?

⁵ Yupan Huang et al. (2022). "LayoutLMv3: Pre-training for Document AI with Unified Text and Image



Optimisation robuste pour la généralisation

Optimisation de sous-espaces



Création de *régions homogènes* dans l'espace de représentation

⇒ Améliorer l'espace de représentation

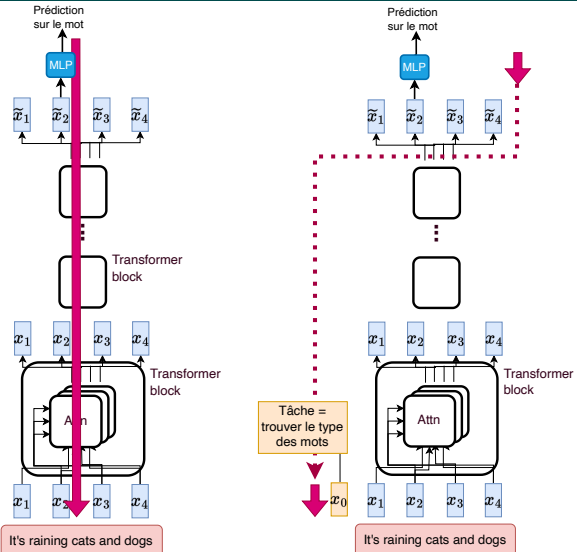
⁶ Mitchell Wortsman et al. (2021). [Learning Neural Network Subspaces](#).



Prefix-tuning & optimisation

- Impossible de maintenir plusieurs versions des paramètres d'un LLM
- Possible de travailler sur des approches parcimonieuses

⇒ Amélioration dans diverses tâches
GLUE... Mais pas encore en NER⁷



⁷ Louis Falissard, Vincent Guigue, and Laure Soulier (2023). “Improving generalization in large language models by learning prefix subspaces”. In: EMNLP



Contextualisation des phrases à analyser

Erreurs en NER = problème de contextualisation?

Comment analyser la phrase suivante?

Azawad reprend les armes



Contextualisation des phrases à analyser

Erreurs en NER = problème de contextualisation?

En allant chercher du contexte sur internet (ou ailleurs):

Azawad reprend les armes

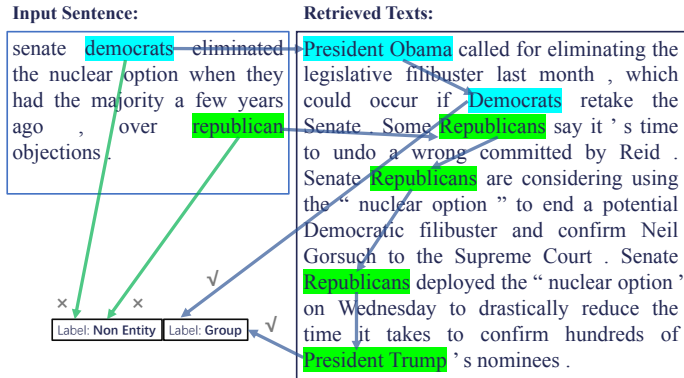
Le Mouvement national de l'Azawad (MNA), créé en novembre 2010

Le secrétaire général du mouvement est Ahmed Ould Sidi Mohamed



Contextualisation des phrases à analyser

Erreurs en NER = problème de contextualisation?



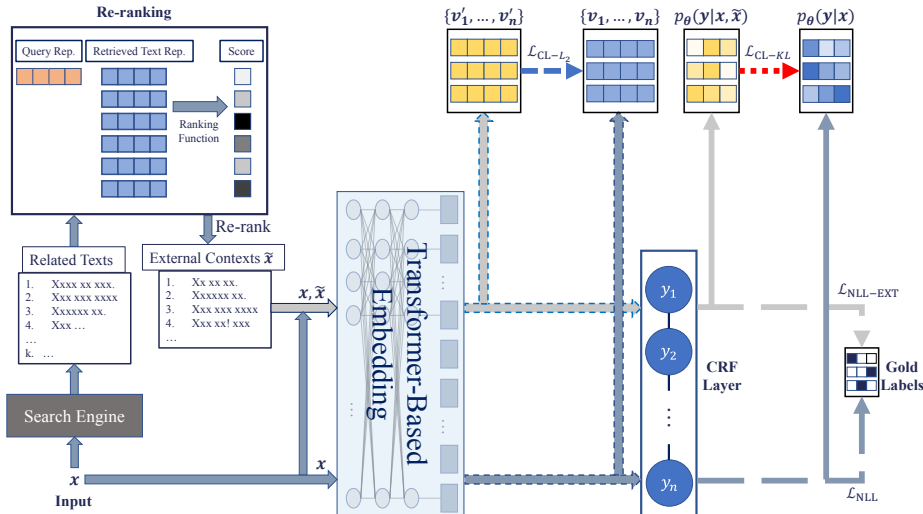
8

⁸ Xinyu Wang et al. (2021). "Improving Named Entity Recognition by External Context Retrieving and Cooperative Learning". In: ACL



Contextualisation des phrases à analyser

Erreurs en NER = problème de contextualisation?





Contextualisation des phrases à analyser

Erreurs en NER = problème de contextualisation?

Amélioration des performances: significatives... Mais décevantes

	Social Media		News		Biomedical		E-commerce
	WNUT-16	WNUT-17	CoNLL-03	CoNLL++	BC5CDR	NCBI	
Evaluation: w/ CONTEXT							
w/ CONTEXT	57.43 [†]	60.20 [†]	93.27 [†]	94.56 [†]	90.76 [†]	89.01 [†]	83.15 [†]
CL- L_2	58.61 [†]	60.26 [†]	93.47 [†]	94.62 [†]	90.99 [†]	89.22 [†]	83.87 [†]
CL-KL	58.98[†]	60.45[†]	93.56[†]	94.81[†]	90.93 [†]	88.96 [†]	83.99[†]

8

⁸ Xinyu Wang et al. (2021). "Improving Named Entity Recognition by External Context Retrieving and Cooperative Learning". In: ACL



Contextualisation et modèles de langue

- ▶ Modèle de langue = sélection des documents du contexte (BERT-Score)
- ▶ Contextualisation directe possible avec un modèle de langue
- ▶ Ouverture: reformulation de phrase
- ▶ ... Voir recherche directe des entités

Expériences préliminaires: recherche de prompts

Example of prompt	Persona	Reflection pattern	Answer format
Could you provide more information about the entities in the provided text.			
Act as an expert linguist. Could you provide more information about the entities in the provided text. Provide outputs that an expert linguist would create.	✓		
Could you provide more information about the entities in the provided text. Moreover, Please address any potential ambiguities or limitations in your answer in order to provide a more complete and accurate response.		✓	
Could you provide more information about the entities in the provided text. You should enumerate your answers as a list of propositions prefixed by a number.			✓
You act as an expert linguist, Could you provide more information about the entities in the provided text. Provide outputs that an expert linguist would create. Moreover, Please address any potential ambiguities or limitations in your answer in order to provide a more complete and accurate response. Provide outputs that an expert linguist would create.	✓	✓	✓

⇒ Dépassement des résultats de CL-NER⁹

⁹Herserant et al. 2024. En soumission



Contextualisation et modèles de langue

- ▶ Modèle de langue = sélection des documents du contexte (BERT-Score)
- ▶ Contextualisation directe possible avec un modèle de langue
- ▶ Ouverture: reformulation de phrase
- ▶ ... Voir recherche directe des entités

Expériences préliminaires: premiers problèmes

Task	Variation	<i>Empty</i>	<i>Denied</i>	<i>Fail</i>	<i>Correct</i>
Reformulation	Classic	214 (6.31%)	374 (11.02%)	441 (12.99%)	2365 (69.68%)
	Persona	215 (6.33%)	257 (7.57%)	262 (7.72%)	2660 (78.37%)
	Reflexion pattern	209 (6.16%)	433 (12.76%)	216 (6.36%)	2536 (74.72%)
	Answer format	-	-	-	-
	All	118 (3.48%)	310 (9.13%)	103 (3.03%)	2863 (84.35%)
Named Entity Recognition	Classic	214 (6.31%)	313 (9.22%)	484 (14.26%)	2383 (70.21%)
	Persona	225 (6.63%)	222 (6.54%)	320 (9.43%)	2627 (77.40%)
	Reflexion pattern	221 (6.51%)	328 (9.66%)	273 (8.04%)	2572 (75.78%)
	Answer format	-	-	-	-
	All	134 (3.95%)	258 (7.60%)	109 (3.21%)	2893 (85.24%)
Context Variation	Classic	237 (6.98%)	347 (10.22%)	415 (12.23%)	2395 (70.57%)
	Persona	221 (6.51%)	285 (8.40%)	256 (7.54%)	2632 (77.55%)
	Reflexion pattern	209 (6.16%)	338 (9.96%)	215 (6.33%)	2632 (77.55%)
	Answer format	-	-	-	-
	All	136 (4.01%)	292 (8.60%)	91 (2.68%)	2875 (84.71%)



Conclusion

- ▶ Auto-supervision
- ▶ Multi-modalité
- ▶ Dynamicité + encodage de la position
- ▶ Technique d'optimisation
- ▶ Contextualisation

- ▶ Gangner en performances en NER est difficile
Et publier en NER est encore plus difficile!
- ▶ 100% de performance n'est pas un objectif réaliste